

Chemie životního prostředí II

Chemie technosféry a atmosféry

(II_03)

Technosféra - Výroba energie a její vliv na životní prostředí

Ivan Holoubek

RECETOX, Masaryk University, Brno, CR

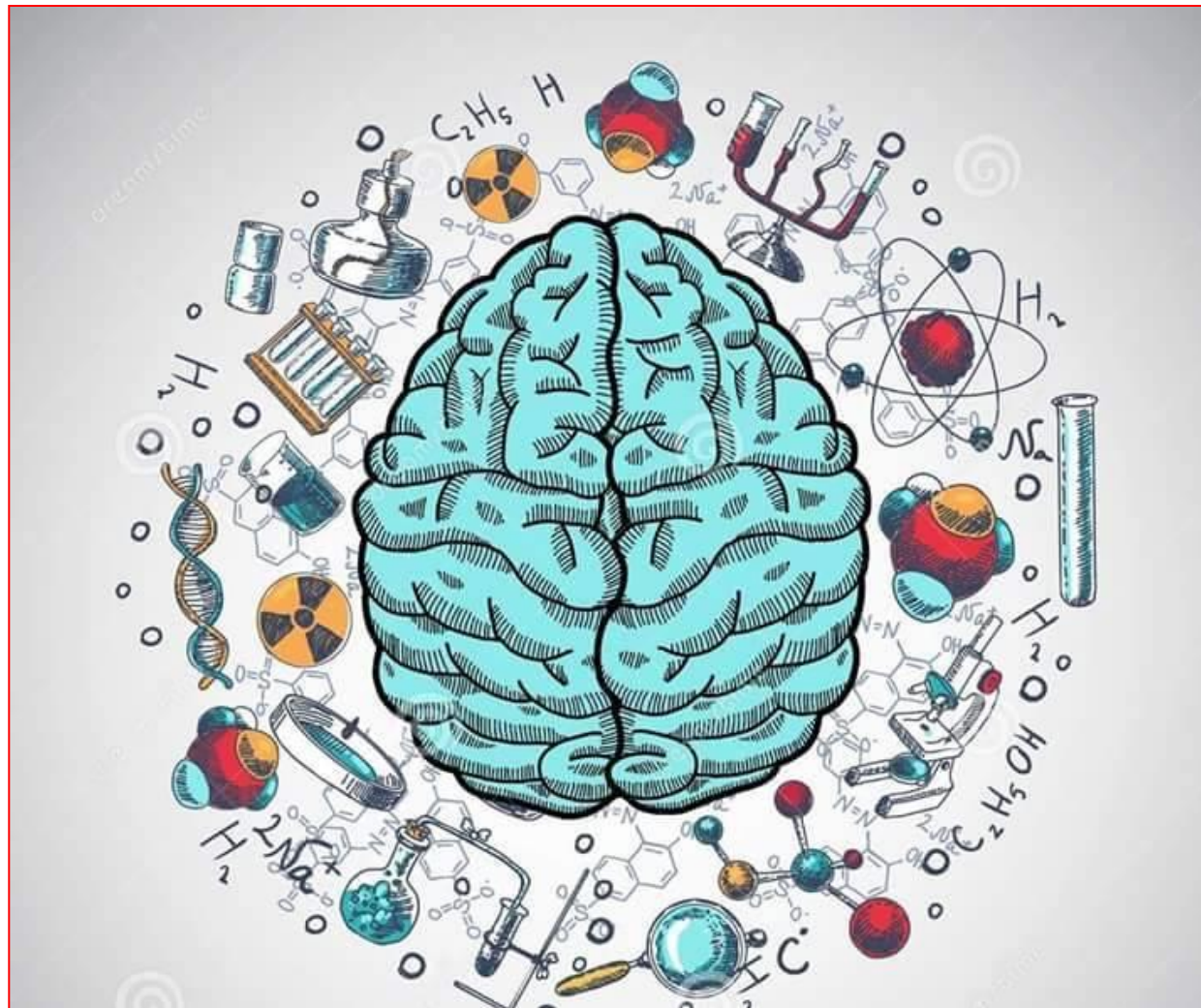
holoubek@recetox.muni.cz; <http://recetox.muni.cz>



INVESTICE DO ROZVOJE VZDĚLÁVÁNÍ

Inovace tohoto předmětu je spolufinancována Evropským sociálním fondem a státním rozpočtem České republiky

Chemické látky a my



Globální primární produkce E

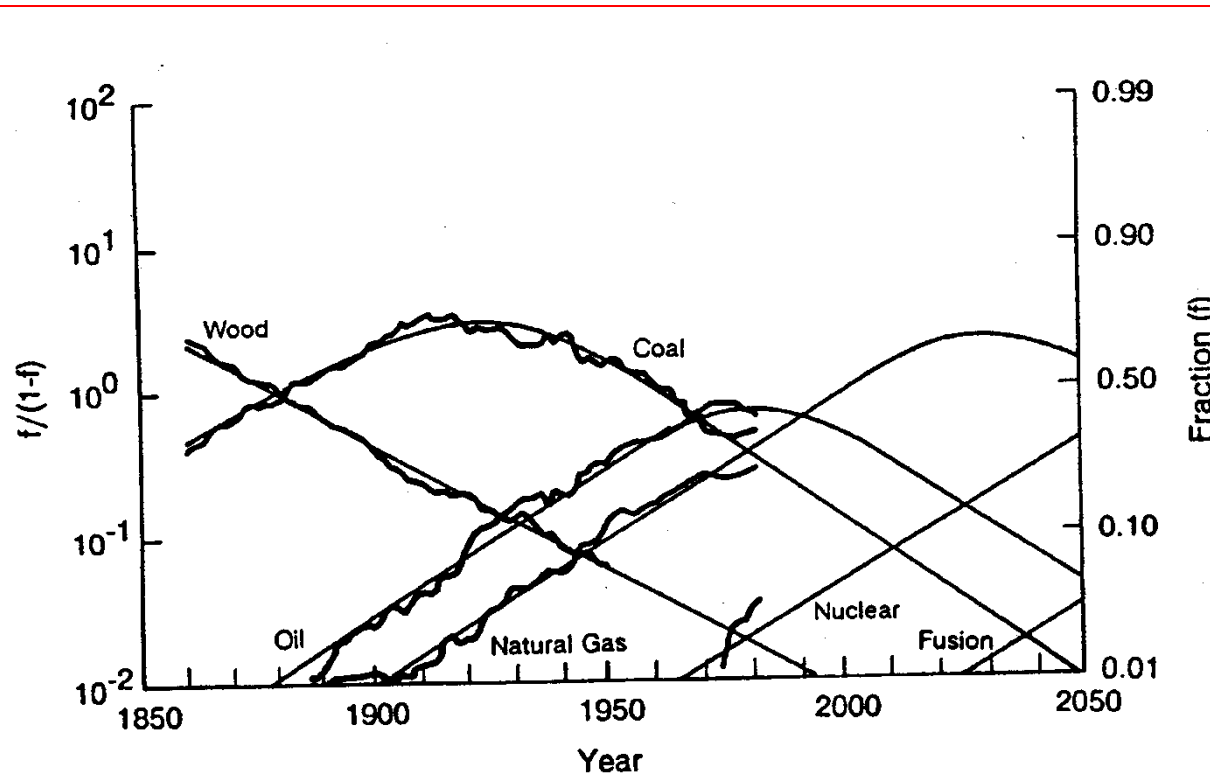


FIGURE 1 Historical and projected trends in global primary energy consumption. The amount of energy (tons of coal equivalent) from each source is plotted as a fraction f of the total energy market, with $\log f/(1 - f)$ as the ordinates. The smooth secular trends are the model estimates based on historical data; irregular lines are historical data. SOURCE: Marchetti and Nakicenovic (1979).

Globální primární produkce E

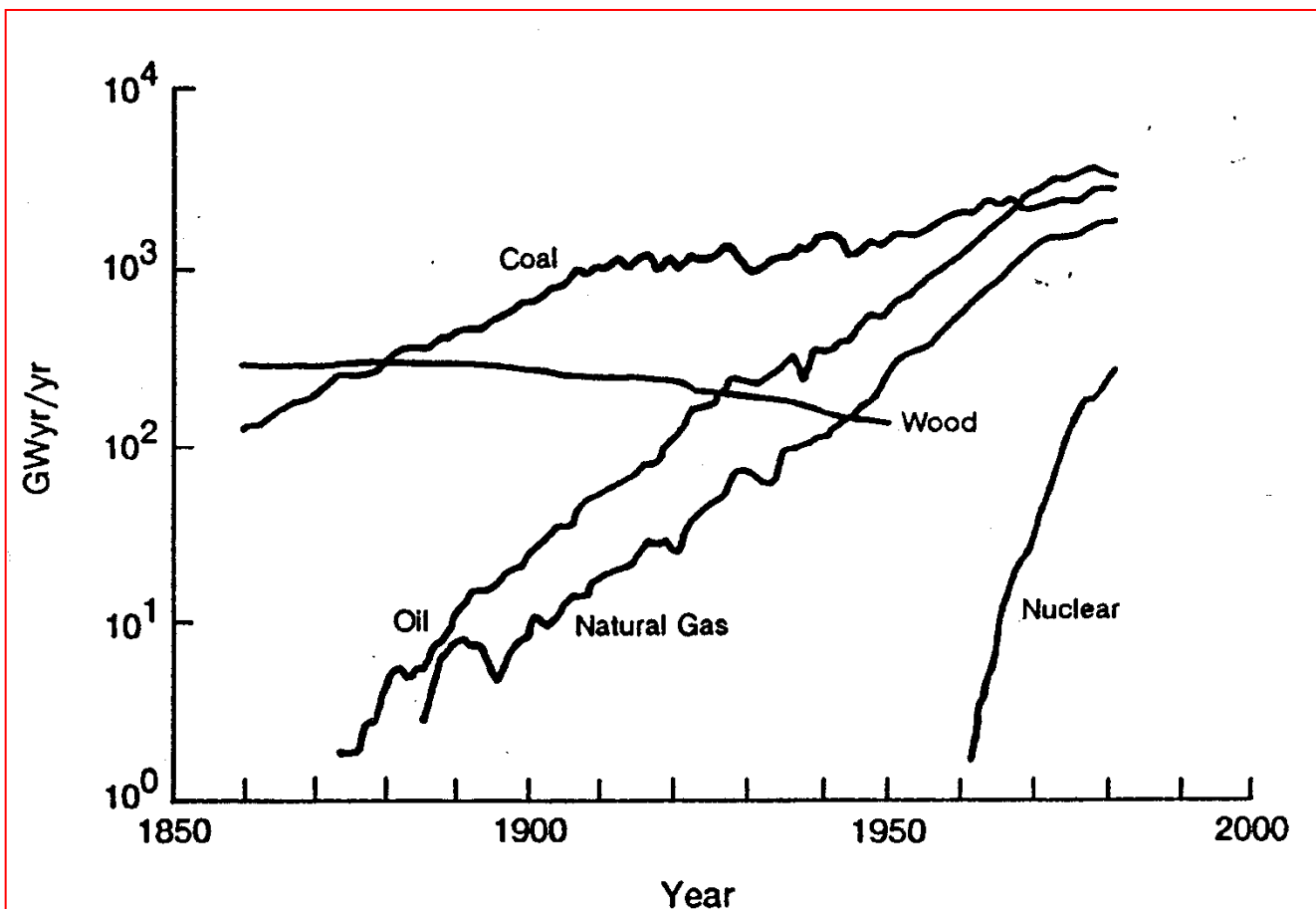
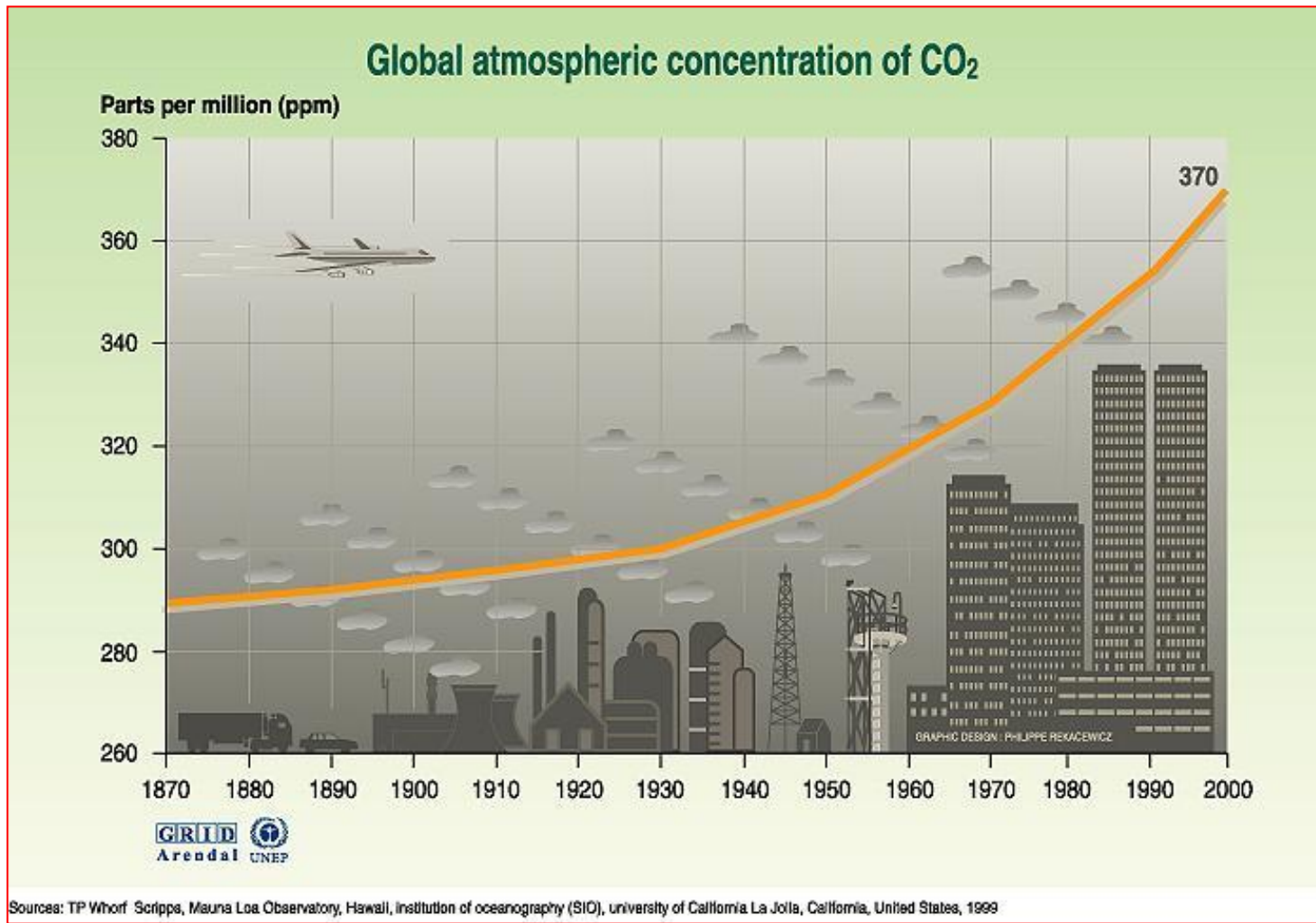
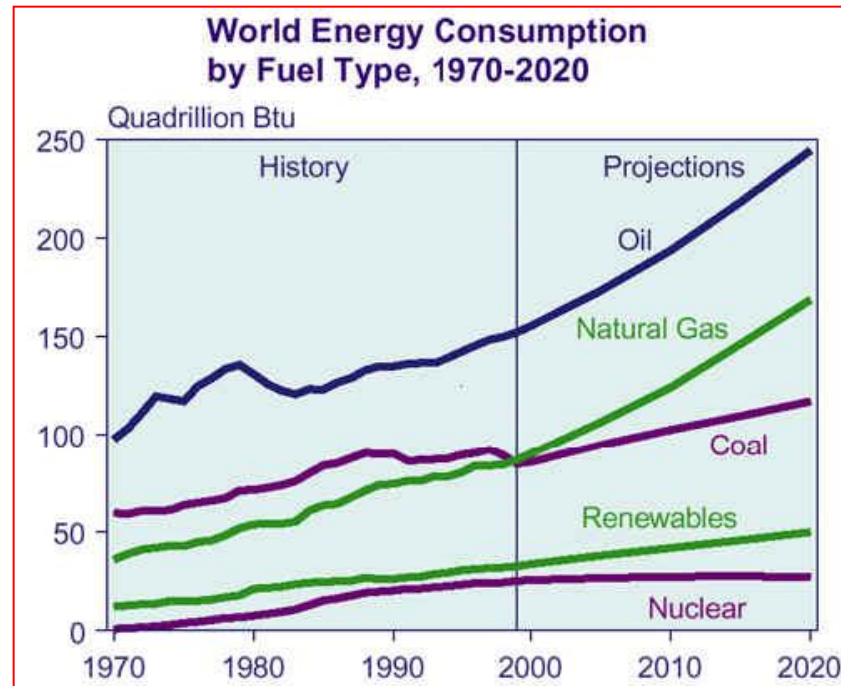
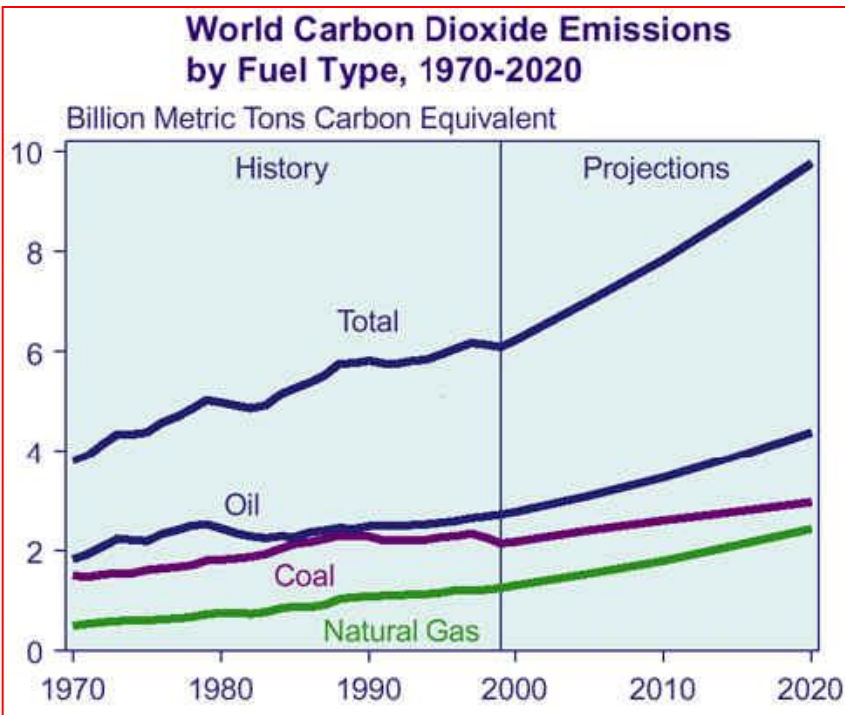


FIGURE 2 World primary energy consumption (in gigawatt-years per year). SOURCE: Grüber and Nakicenovic (1988, p. 15).

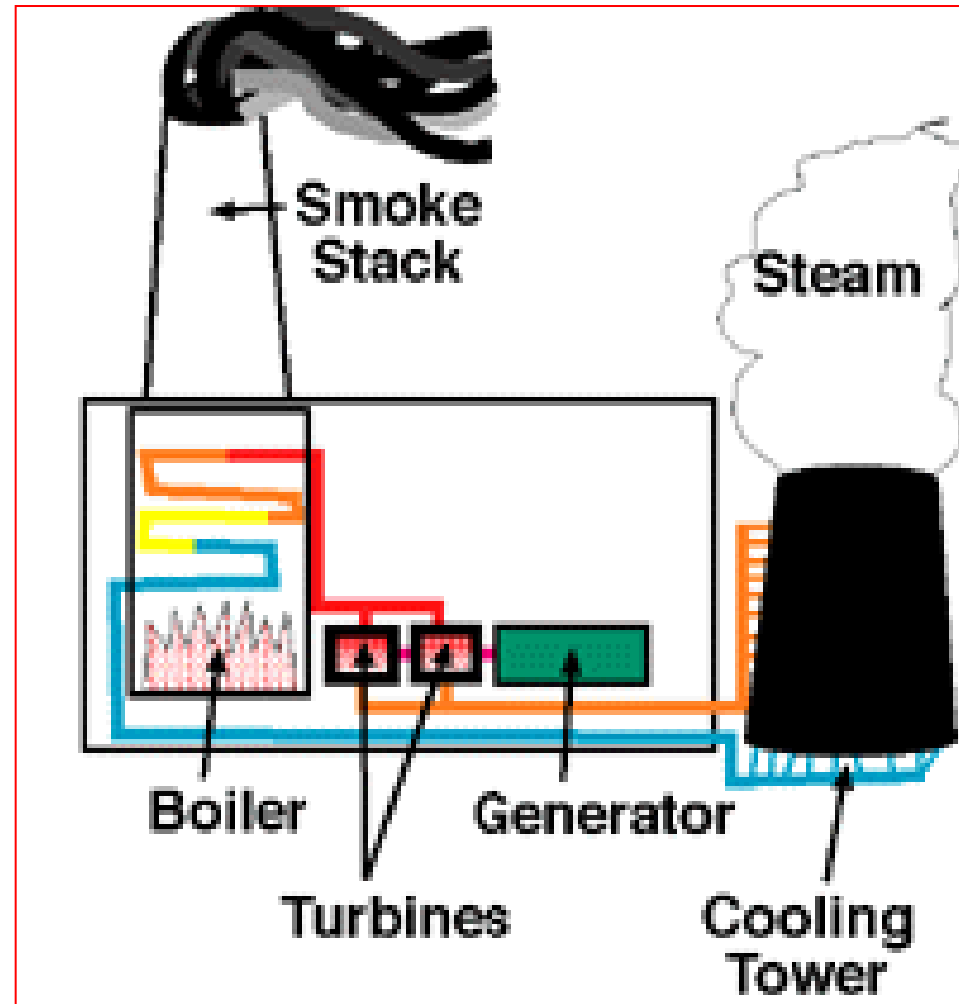
Globální atmosférické koncentrace CO₂



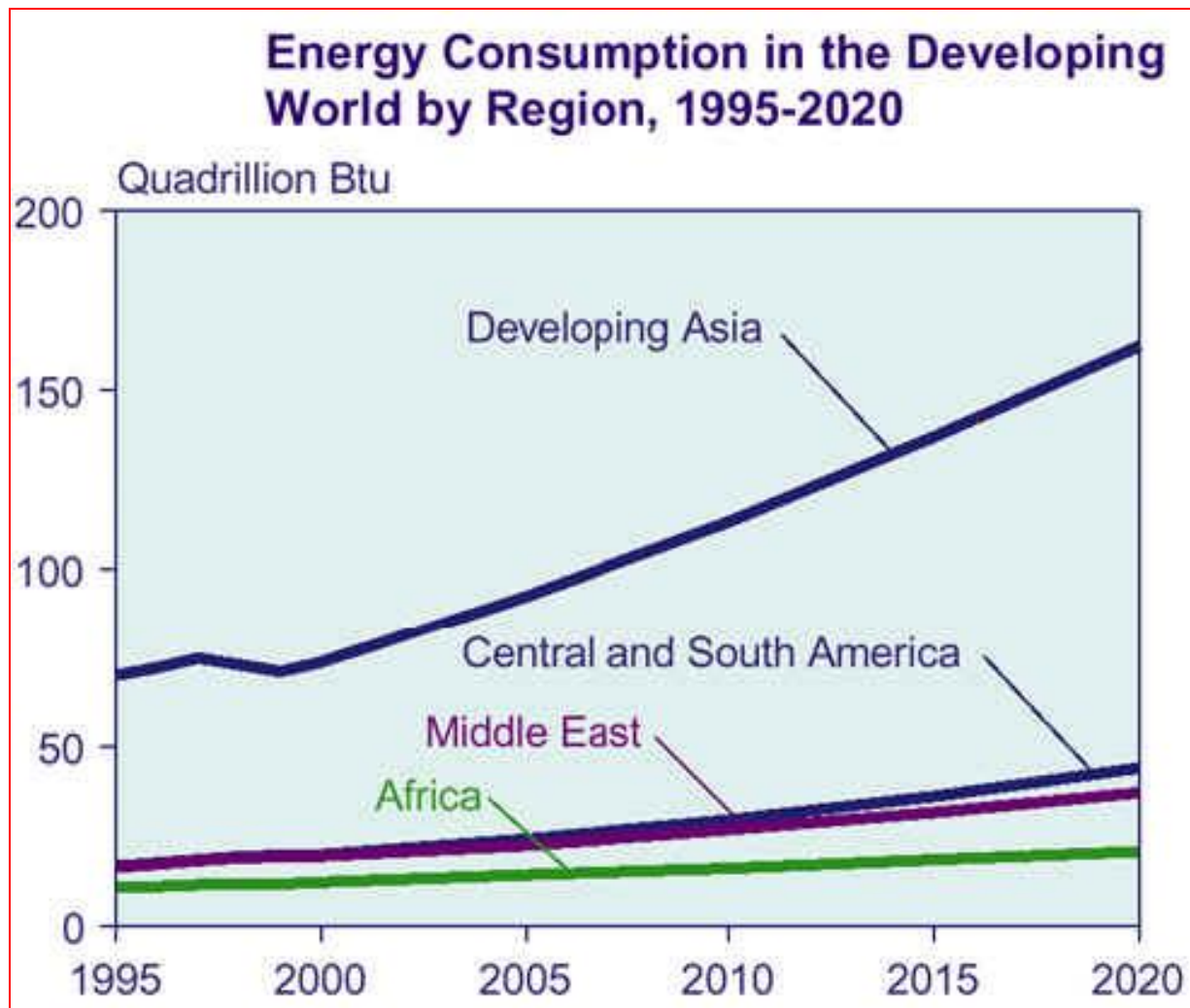
Globální spotřeba paliv a globální emise CO₂ z různých typů paliv, 1970- 2020



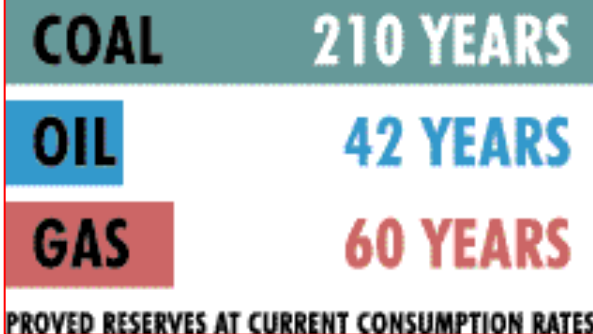
Spalování fosilních paliv



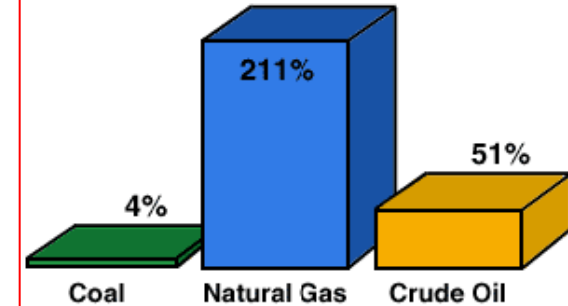
Spotřeba E v rozvojových zemích, 1995-2020



Fosilní paliva



Fuel - Price Increase Over Past 20 Years



Zdroje znečištění prostředí

TĚŽEBNÍ ČINNOST

- ↳ uhlí - hlušina
- ↳ kovy, rudy - hlušina
- ↳ ropa – úniky
- ↳ narušení krajiny

ZPRACOVÁNÍ UHLÍ

- ↳ těžba – (S), hlušina, zásahy do krajiny
- ↳ doprava

využití:

- ↳ výroba energie a tepla
- ↳ výroba koksu
- ↳ výroba plynu
- ↳ úprava
- ↳ surovina pro chemický průmysl

Povrchový důl na hnědé uhlí



Foto Jaroslav Česnek

Foto 2.1 Povrchový důl na hnědé uhlí

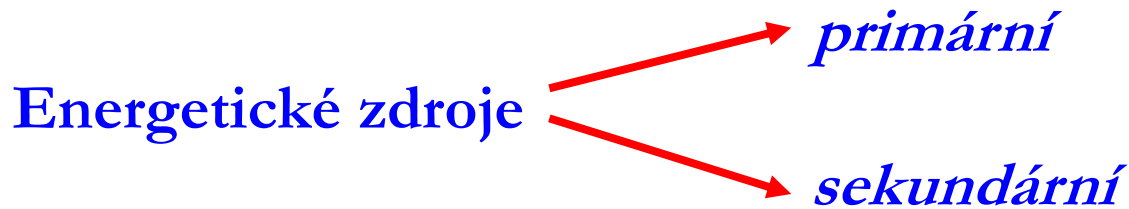
Povrchová těžba uhlí



Foto 3.4 Povrchový důl na hnědé uhlí

foto Jaroslav Česnek

Výroba energie



Primární - získané přímo z přírody (dřevo, uhlí, ropa, uranová ruda)

Sekundární - úpravou primárních zdrojů a jejich přeměnou (svítiplyn, brikety, benzín, nafta, topné oleje)

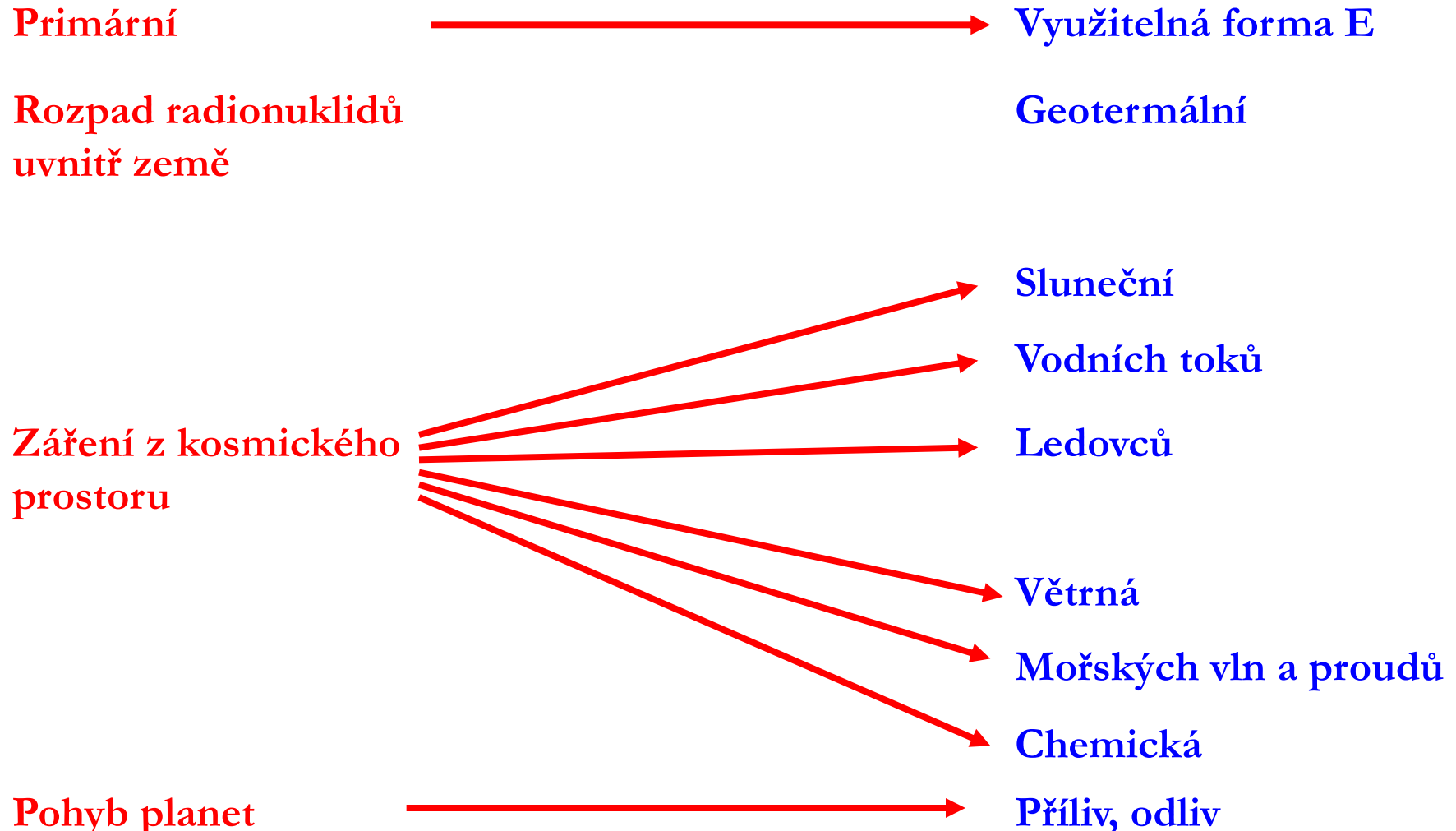
Výroba energie

Přírodní zdroje energie

Obnovitelné – prakticky nevyčerpatelné
– sluneční záření, E vodních toků,
větrná E, geotermální

Neobnovitelné – vyčerpatelné – uhlí,
ropa, zemní plyn

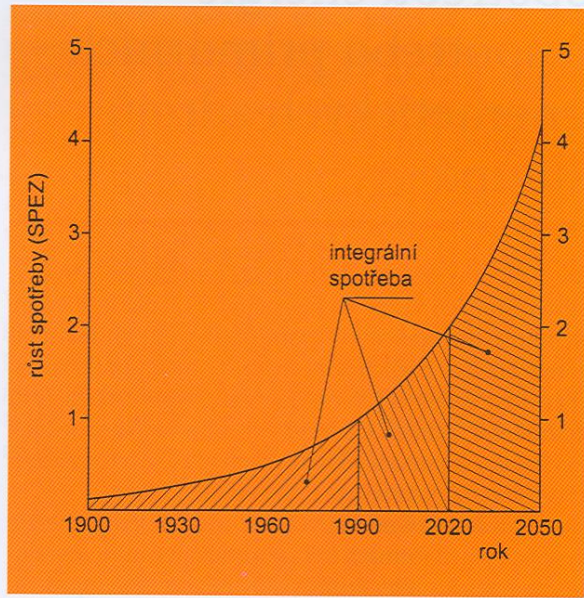
Obnovitelné zdroje



Nárůst počtu obyvatel a spotřeby E

	1950	1980	1990	2000	Nárůst
Počet obyvatel (mld)	2,5	4,4	5,2	6,1	2,44-krát
Spotřeba primární E (mld. tmp)	2,0	11,8	19,0	29,0	16,94-krát
Spotřeba E /obyv. (tmp /obyv.)	1,04	2,7	3,65	4,75	

Růst spotřeby primárních zdrojů



Obrázek 1.1

Růst spotřeby primárních energetických zdrojů (SPEZ) pro konstantní meziroční přírůstek $q = 1,024$ (v roce 1990 je bráno SPEZ = 1) a integrální spotřeba primárních energetických zdrojů za určité období:

integrální spotřeba

od počátku průmyslové éry do roku 1990 $(IS)_1 = 42,7$

integrální spotřeba 1990–2020 $(IS)_2 = 43,2$

integrální spotřeba 2020–2050 $(IS)_3 = 88,2$

integrální spotřeba 1990–2050 $(IS)_{1+2+3} = 131,4 = 3,1 \cdot (IS)_1$

Tabulka 2.5

Spotřeba primárních energetických zdrojů (PEZ) podle druhů (v procentech) v jednotlivých částech světa v roce 2002, zdroj British Petroleum

Oblast světa – PEZ	Ropa	Zemní plyn	Uhlí	Jaderná energie	Vodní energie
Evropa	33	33	18	10	6
Amerika	40	25	19	7	9
Střední východ	52	46	1,5	-	0,5
Afrika	40	20	30	1	9
Asie a Austrálie	36,5	11	44	4	4,5
Svět celkem	37,5	24	25,5	7	6

Energetické problémy ČR

- ↳ vyčerpané prvotní energetické zdroje
- ↳ zanedbatelná zásoba ušlechtilých paliv
- ↳ energetická náročnost ekonomiky
- ↳ relativně nižší úroveň zhodnocení paliv a energie

Možná opatření:

- ↳ zvýšení účinnosti při využívání E a orientace na úsporná opatření (krátkodobé hledisko)
- ↳ vývoj a zavádění technologií usnadňujících přechod a zplynování (střednědobé)
- ↳ uplatnění nefosilních zásob E (dlouhodobé)
- ↳ restrukturalizace průmyslu
- ↳ snížení energetické náročnosti

Elektrárna Mělník



Foto 2.6 Elektrická energie z uhlí - Elektrárna Mělník

Možná opatření pro snížení vlivů tepelných elektráren na ŽP

- ↳ zvýšení rozptylu – extrémně vysoké komíny
- ↳ jednorázová opatření k dočasnému zlepšení:
 - na vstupu – použití kvalitnějšího paliva
 - na výstupu – chemické vázání škodlivin
- ↳ použití kontinuálních metod odsířování méně hodnotných paliv a tuhých paliv s vysokým obsahem síry
- ↳ použití bezodpadových technologií

Hlavní způsoby omezování plynných emisí

- ↳ **odsiřování paliv**
 - zplyňování paliv s následným zachycením H_2S
- ↳ **desulfurace spalin**

200 MW – spaliny 1 – 1,2 mil. $\text{m}^3 \cdot \text{h}^{-1}$ plynu ($T = 130 - 180^\circ\text{C}$)

ČR:

Hnědé uhlí – popel, S, As

Jedno z hlavních paliv do roku 2000:

- ↳ zhoršující se kvalita
- ↳ soustředění jeho spalování do elektráren vybavených odsiřovacím zařízením
- ↳ zplyňování uhlí s velkým obsahem síry

Hlavní způsoby omezování plynných emisí

Ropa:

- ↳ nejpoužívanější energetický zdroj
- ↳ surovinová základna petrochemického průmyslu
- ↳ spalování odpadů z petrochemie
- ↳ těžké topné oleje – S – odstranění technologicky možné vyšší cena (hydrogenace H_2S)
- ↳ lehké topné oleje – malospotřebitelé ve městech

Zemní plyn: - *nejslechtilejší palivo* – náročné technologické procesy, komunální bytová sféra, surovina pro chemický průmysl

Vliv energetiky na ŽP

Kombinace výroby tepla a elektřiny:

účinnost klasické elektrárny – max. 40%

kombinace - ~ 70%

rozvod tepla - emise se nezmenšují, ale jsou soustředěny na jedno místo

Hlavní problémy: SO₂, NO_x, prach, těžké kovy, PAHs

	Uhlí	Topný olej	Zemní plyn
SO ₂ (bez odsíření) [t.r ⁻¹]	120 000	38 600	20
SO ₂ (odsíření) [t.r ⁻¹]	24 000	2 000	0
NO ₂ (bez) [t.r ⁻¹]	27 000	26 000	13 400
TČ (bez) [t.r ⁻¹]	270 000	26 000	518
TČ (s čistěním) [t.r ⁻¹]	2 000	150	4
Radioaktivní látky [Mbq.r ⁻¹]	740	18,5	0
Odpadní teplo [mld kWh.r ⁻¹] 15%	1,64	1,71	2,2
Spotřeba chladící vody [mld l.r ⁻¹]	10 000	10 000	10 000

Výroba energie

Alternativní způsoby

Alternativní způsoby výrovy energie

	Experimentální	Poloprovoz	Prototyp	Průmylově
Geotermální	X	X	X	X
E přílivu a odlivu	X	X	X	X
E mořských vln	-	~ 1990	1995 – 2000	> 2000
Větrná	X	X	1985	> 1995
Sluneční	x	1980 – 1985	~ 1985	> 1985
Jaderní štěpení – tepelné reaktory	X	X	X	X
- rychlé reaktory	X	X	X	X
Termojaderná fúze.	X	X	~ 1990	- 2000
Zplyňování uhlí	X	X	X	X
Vodíkové hospodářství	x	> 1985	~ 1990	> 2000
Fotosyntéza CH ₄	X	X	~ 1990	> 2000

Předpokládaný příspěvek nových obnovitelných zdrojů energie

Tabulka 2.4

Předpokládaný příspěvek nových obnovitelných zdrojů energie (OZE) a jejich podíl na všech primárních energetických zdrojích (PEZ) v roce 2020 podle WEC 2000

Druh OZE	Minimum		Maximum	
	Mt _{oe}	%	Mt _{oe}	%
Biomasa	243	45	561	42
Solární energie	109	20	355	26
Jiné (vítr, geotermální, malé vodní elektrárny)	187	35	429	32
Celkem	539	100	1 345	100
Podíl ze všech PEZ (%)	3 až 4		8 až 12	

Využití sluneční energie

Výhody:

- ↳ prakticky nevyčerpatelné zdroje E
- ↳ čistý zdroj
- ↳ žádné palivové náklady

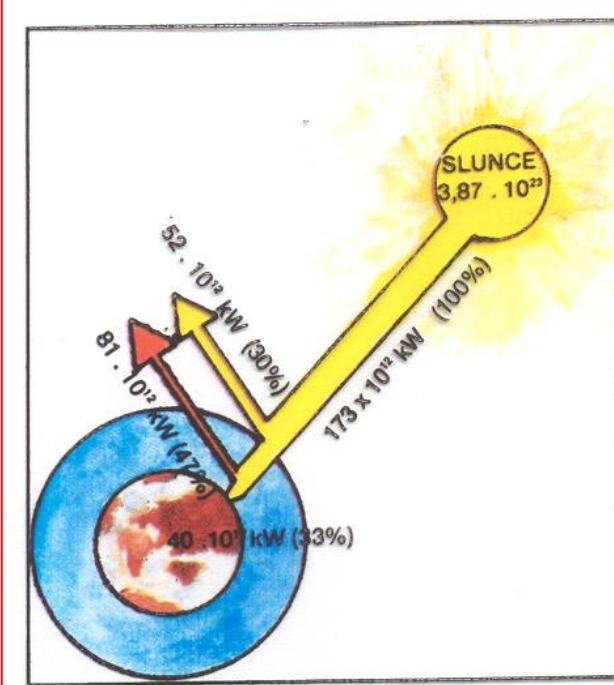
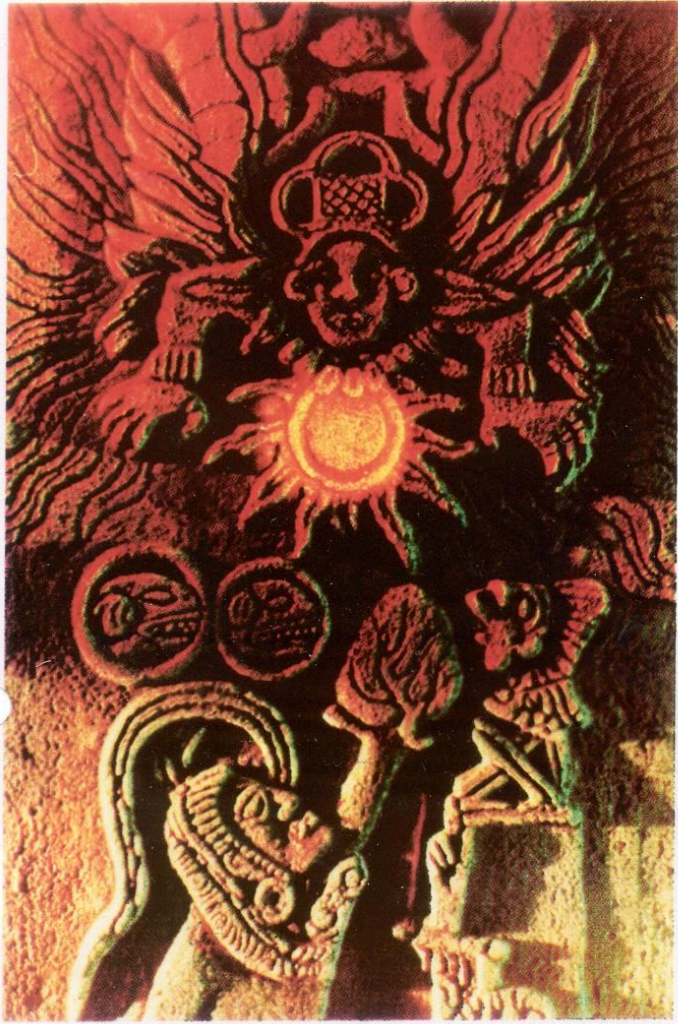
Nevýhody:

- ↳ malá výkonová hustota
- ↳ proměnlivost intenzity záření
- ↳ vysoké náklady na skladování E
- ↳ vysoké měrné investiční náklady

Možnosti využití:

- ↳ ohřev vody
- ↳ sušení zemědělských produktů
- ↳ čerpání vody
- ↳ vytápění a klimatizace budov
- ↳ výroba elektřiny
- ↳ stavba kovů

Využití sluneční energie

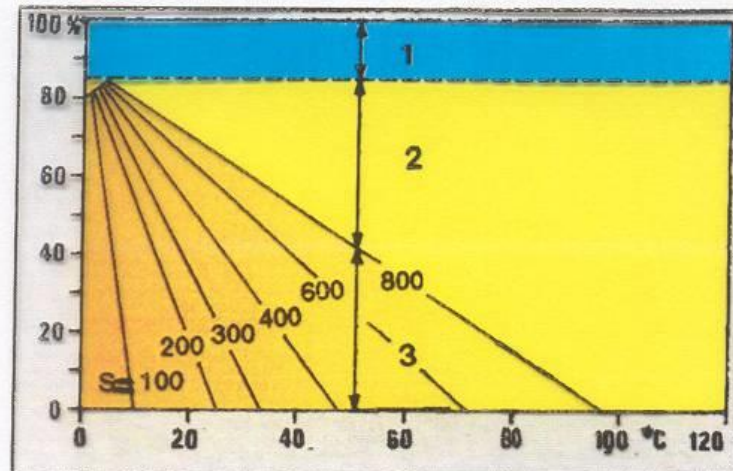
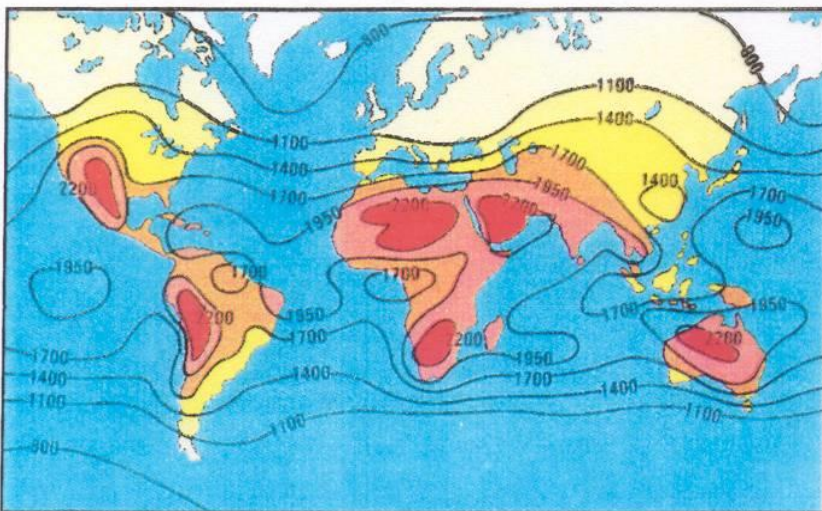


Jaká část výkonu slunečního záření dopadne na zemský povrch?

$3,87 \times 10^{23}$ kW celkový výkon slunečního záření
 173×10^{12} kW záření dopadající na zemskou atmosféru
 52×10^{12} kW odraz od atmosféry
 81×10^{12} kW teplo vyzářené zpět do vesmíru
 40×10^{12} kW výkon dopadající na zemský povrch

Využití sluneční energie

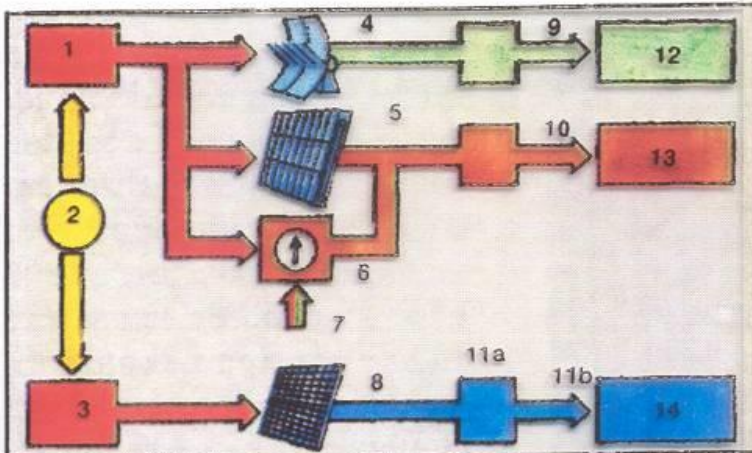
Mapa průměrného ročního slunečního svitu v různých částech světa (v kWh/m² za rok). V Československu Slunce svítí na většině míst 1500–1700 hodin za rok, na jihu pak 1700 až 1900 hodin ročně. Za jeden den dopadnou v chladnějších místech 2 až 3 kWh sluneční energie na m² plochy, v letních měsících je to 4,5 až 5,5 Wh/m². Průměrné množství energie slunečního svitu za jeden rok je 950 až 1100 kWh/m², tj. okolo 1 TWh na km².



Charakteristika účinnosti plochého kolektoru s jednoduchým zasklením při rozdílné intenzitě dopadu slunečních paprsků S ($S = \text{W/m}^2$).

Na obrázku jsou jako příklad vyznačeny tepelné ztráty při teplotním rozdílu $T = 50^\circ\text{C}$ a $S = 800 \text{ W/m}^2$.
1 – optické ztráty
2 – tepelné ztráty
3 – užitečný výkon
4 – účinnost
5 – teplotní rozdíl absorbér/vnější vzduch T

Využití sluneční energie



Různé způsoby využívání sluneční energie:

1 – Výroba tepla 2 – Slunce 3 – Výroba elektřiny
 4 – Parabolické zrcadlo 5 – Sluneční kolektor
 6 – Tepelné čerpadlo 7 – Elektřina nebo plyn
 8 – Fotovoltaické články 9 – Pára 10 – Látka k přenosu tepla 11a – Přenosové a řídící systémy
 11b – Elektřina 12 – Vysokopotenciální teplo: průmyslové využití, výroba elektřiny 13 – Nízkopotenciální teplo: vytápění místností, příprava teplé vody
 14 – Elektrický proud, napájení sítě, místní zásobování elektřinou

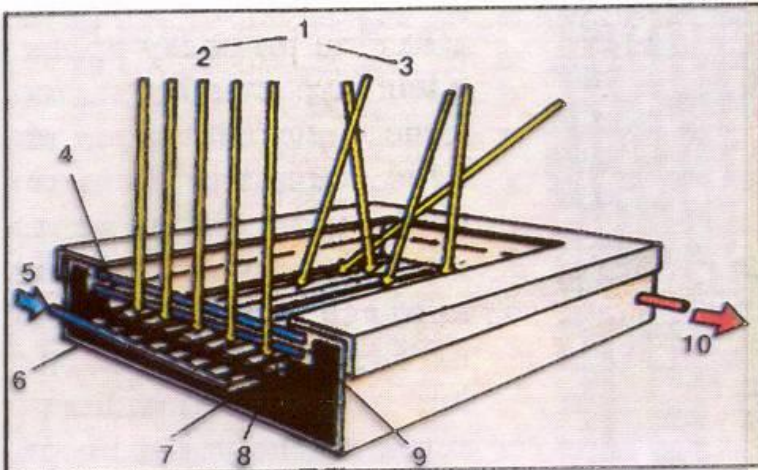
Účinnost různých druhů slunečních kolektorů

Stupeň koncentrace	Druh kolektoru	Teplota °	Účinnost%
bez koncentrace	plochý	60 až 200	max. 50
střední konc.	parabolický válec	250 až 700	max. 70
vysoká konc.	paraboloid	650 až 4000	max. 75

Možnosti využití odpadního tepla tepelnými čerpadly

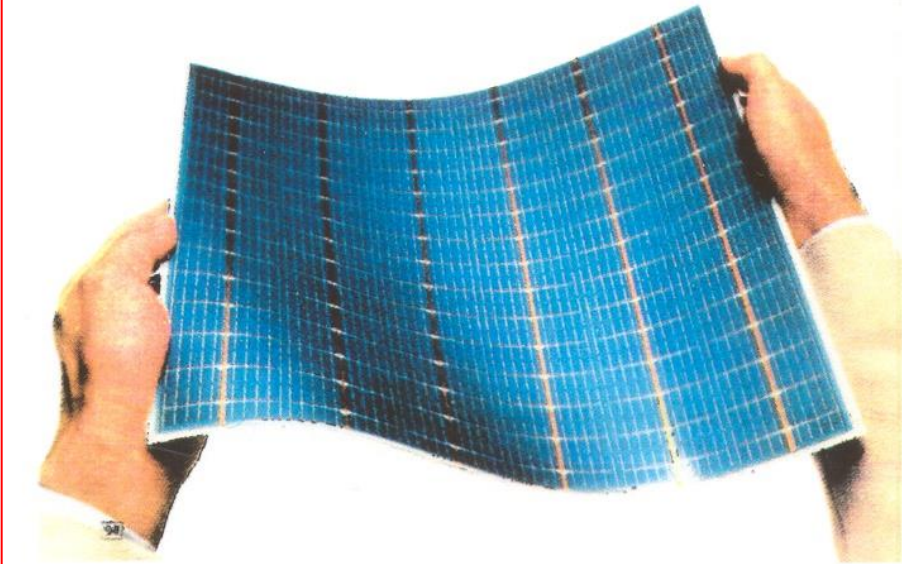
Zařízení	Užití tepla	Zdroj odpadního tepla pro čerpadlo
Prádelny Textilní závody - barvírny papíry Zemědělské provozy	teplá voda teplá voda teplá voda teplá voda, otop vybraných prostorů	odpadní voda z praní odpadní teplá voda odpadní teplá voda odpadní vzduch z chlévů a lžícní
Klimatizační zařízení Sušárny Průmyslové provozy	ohřev čerstvého vzduchu předepeřev sušicího vzduchu teplá voda otop	odcházející znečištěný vzduch odpadní vlhký vzduch ze sušicího procesu chladící voda s nízkopotenciálním teplem

Využití sluneční energie



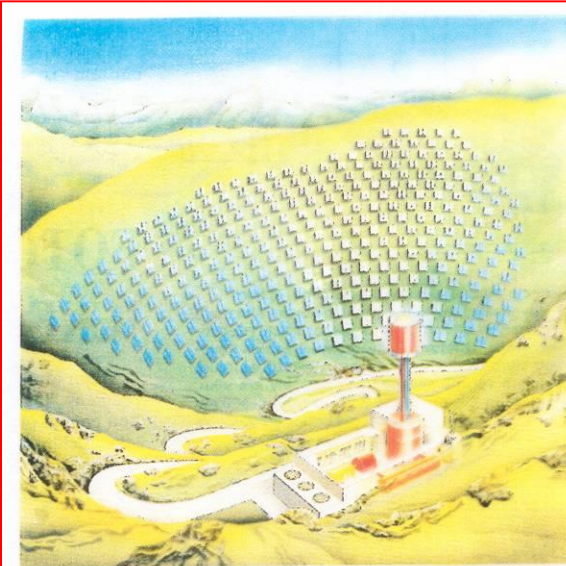
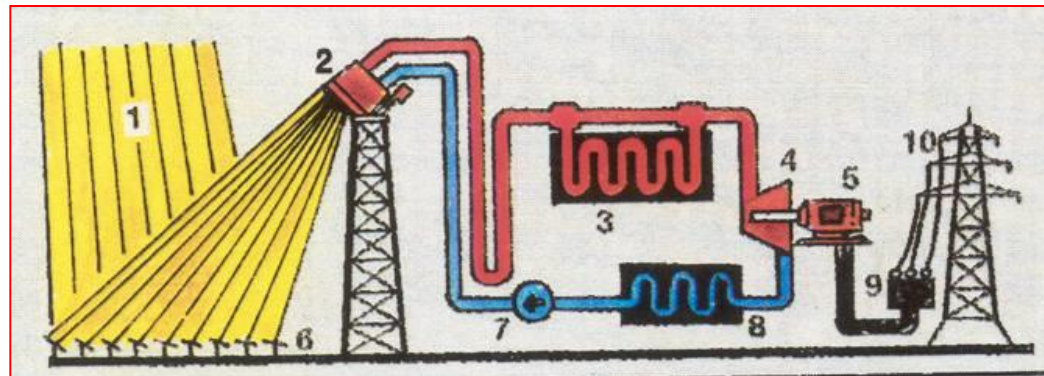
Princip plochého kolektoru: 1 – sluneční záření
2 – přímé 3 – difúzní (rozptylené) 4 – zakrytí jednou nebo dvěma skleněnými tabulemi 5 – vstup teplonosné látky 6 – rám 7 – tepelná izolace 8 – absorber 9 – těsnění 10 – výstup teplonosné látky

Supertenké ohebné sluneční baterie k nalepení na střechu elektromobilu, motorového člunu nebo pro přenosnou radiostanici.



Využití sluneční energie

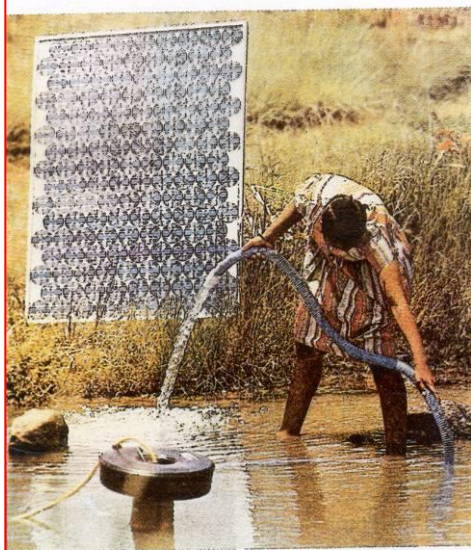
Princip tepelné sluneční elektrárny:
1 – dopadající sluneční paprsky
2 – přijímač (kotel)
3 – zásobník tepla
4 – turbína
5 – generátor
6 – heliostaty (zrcadla)
7 – čerpadlo napájecí vody
8 – kondenzátor
9 – transformátor
10 – rozvodná síť



Švýcarský projekt věžové sluneční elektrárny o výkonu 6 MW.

Využití sluneční energie

Největší současná sluneční elektrárna SEGS VIII v Kalifornii s výkonom 30 MW má v náklápěcích rámech celkem 1,5 milionů zrcadlových desek.



Zavodňovací čerpadlo poháněné elektřinou ze solárního panelu.



Pojízdný sluneční sporák s akumulátorem tepla umožňuje vařit i večer.



Sluneční dům pro 18 rodin v Long Beach v Kalifornii.

Využití větrné energie



Foto 7.3 Využití energie větru dnes
– Větrná elektrárna Mravenečník



Foto 7.4 Využití energie větru v minulosti
– De la Mancha (Španělsko)

Využití větrné energie

Výhody:

- ↳ žádné palivové náklady
- ↳ minimální vliv na ŽP (narušení vzhledu, nebezpečí pro ptáky)

Nevýhody:

- ↳ malá výkonová hustota
- ↳ proměnlivá intenzita větru
- ↳ vysoké náklady na skladování

Možnosti využití:

- ↳ zásobování odlehlých oblastí elektrickou energií (zemědělské farmy v rozvojových zemích)

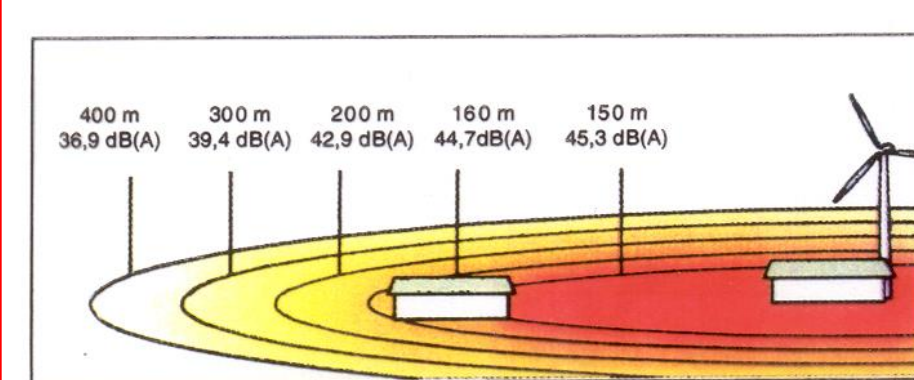
Využití větrné energie



Mr byl prvním živlem, který se člověku podařilo sputat a využít „ako věčně se obnovující energii.

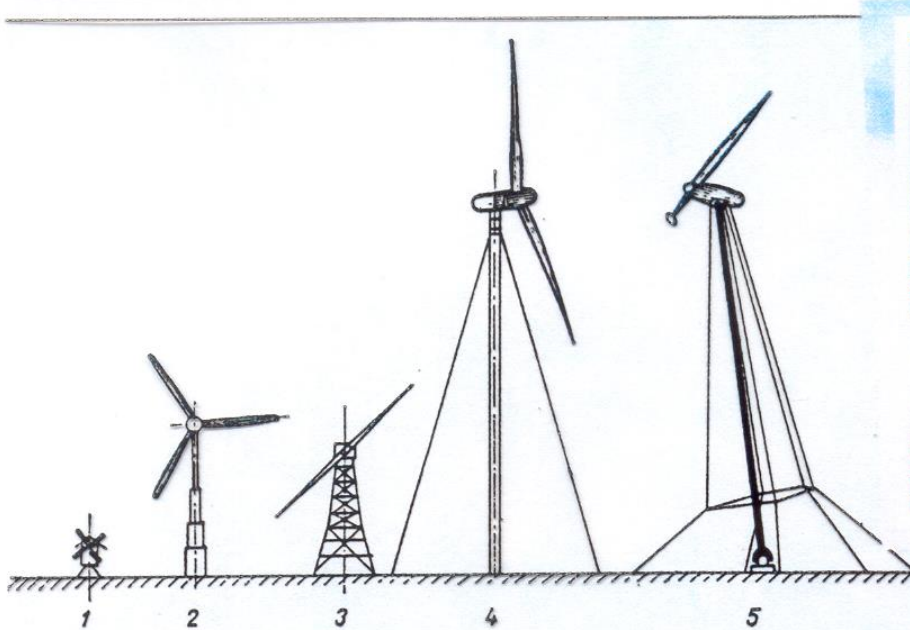


Pohled na větrnou farmu ve Velké Británii

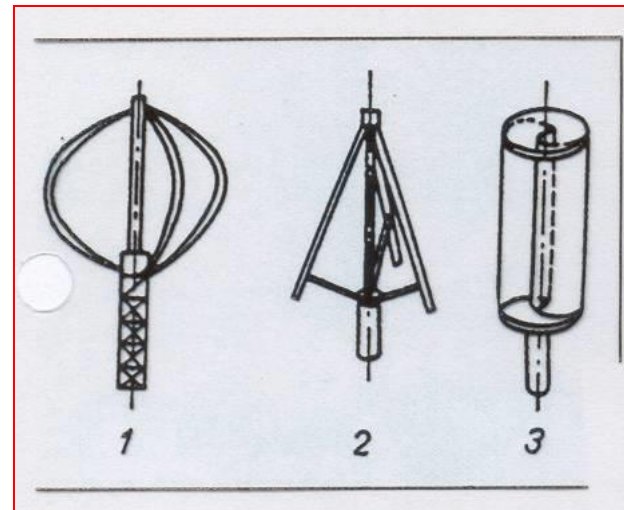


Hlučnost větrné elektrárny vyjádřená hladinou akustického tlaku v různých vzdálenostech. Pro srovnání: 40 až 60 dB odpovídá obvyklé mluvě či životní ulici.

Využití větrné energie



Příklady typů větrných elektráren: 1 – malá větrná elektrárna do výkonu 90 kW 2 – větrná elektrárna TVIND o výkonu 2 MW (Dánsko) 3 – větrná elektrárna v Severní Karolíně (USA) 4 – větrná elektrárna GROWIAN o výkonu do 2 až 3 MW (SRN) 5 – jednokřídlová větrná elektrárna budoucnosti, výkon až 10 MW



Rotory větrných elektráren se svislou osou:
1 – typ Darrieus Φ 2 – typ Darrieus \triangle 3 – typ Savonius



Využití větrné energie

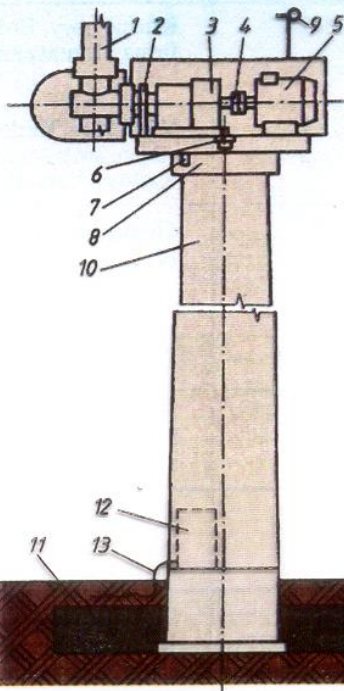
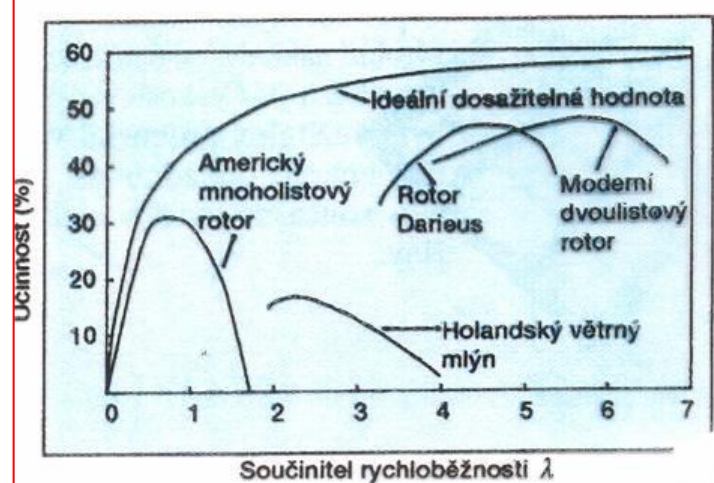
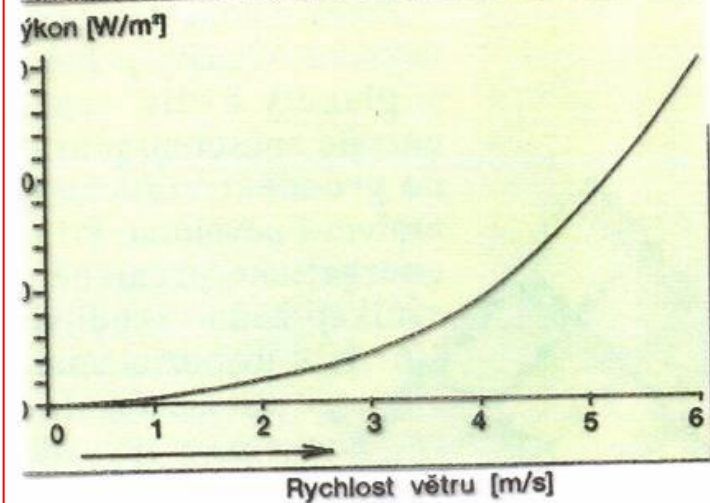


Schéma větrné elektrárny

1 - rotor s rotorovou hlavicí, 2 - brzda rotoru, 3 - planetová převodovka, 4 - spojka, 5 - generátor, 6 - servopohon natáčení strojovny, 7 - brzda točny strojovny, 8 - ložisko točny strojovny, 9 - čidla rychlosti a směru větru, 10 - několikadílná věž elektrárny, 11 - betonový armovaný základ elektrárny, 12 - elektrorozvaděče silnoproudého a řídicího obvodu, 13 - elektrická připojka



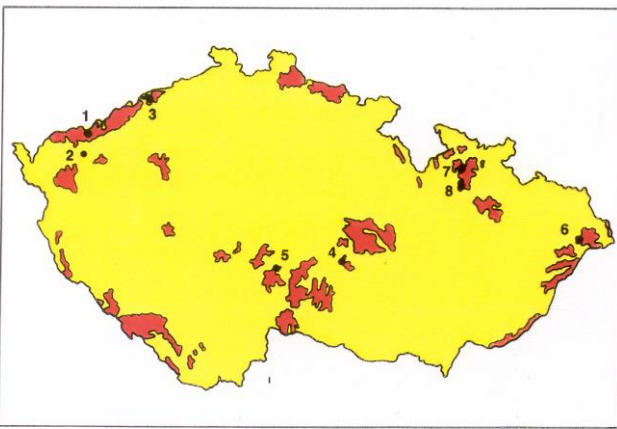
Využití větrné energie

Beaufortova stupnice slouží k odhadování síly větru z projevů jeho účinků na různé předměty. Pro pozorování na pevnině bylo stanoveno 12 stupňů.

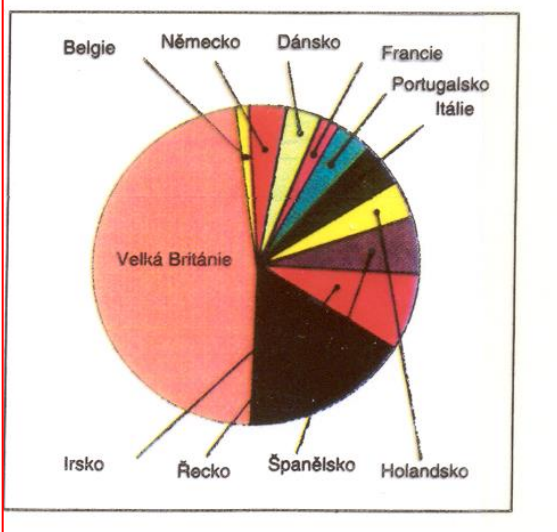
Beaufortův stupeň	Označení a rozpoznávací znaky větru	Rychlosť	
		(m.s ⁻¹)	(km.h ⁻¹)
0	bezvětrí; kouř stoupá kolmo vzhůru	0,0-0,2	1
1	vánek; směr větru je pozorovatelný podle pohybu kouře, vítr však ještě nepůsobí na větrnou korouhev	0,3-1,5	1-5
2	slabý vítr; je cítit v tváři, listí stromů šelestí, obyčejná korouhev se začíná pohybovat	1,6-3,3	6-11
3	mírný vítr; listí stromů a větičky v trvalém pohybu, vítr napíná praporky a slabě čerší hladinu stojaté vody	3,4-5,4	12-19
4	dost čerstvý vítr; zvedá prach a útržky papíru, pohybuje slabšími větvemi stromů	5,5-7,9	20-28
5	čerstvý vítr; listnaté koře se začínají hýbat, na stojatých vodách se tvoří menší vlnky se zpětnými hřebeny	8,0-10,7	29-38

Beaufortův stupeň	Označení a rozpoznávací znaky větru	Rychlosť	
		(m.s ⁻¹)	(km.h ⁻¹)
6	silný vítr; pohybuje tlustými větvermi, telegrafní dráty sviští, deštník působí nesnáze	10,8-13,8	39-49
7	prudký vítr; pohybuje celými stromy, znesnadňuje chůzi	13,9-17,1	50-61
8	bouřlivý vítr; ulamuje větve, znemožňuje chůzi proti němu	17,2-20,7	62-74
9	vichřice; způsobuje menší škody na stavbách (strhává komíny a krytiny střech)	20,8-24,4	75-88
10	silná vichřice; vyskytuje se na pevnině zřídka, vyvrací stromy, působí škody na obydlích	24,5-28,4	89-102
11	mohutná vichřice; vyskytuje se velmi zřídka, působí rozsáhlé pustošení	28,5-32,6	103-117
12	orkán; ničivé účinky (odnáší střechy, demoluje těžké objekty)	32,7	118 a více

Využití větrné energie



Využití větrných zdrojů v Evropě



Odhad instalovaného a cílového výkonu větrných elektráren v Evropě

Země	Instalovaný výkon (MW) březen 1993	Cílový výkon (MW) rok 2000-2005
Dánsko	475	1 500
Německo	130	250
Holandsko	110	1 000
Španělsko	45	90
Řecko	18	400
Itálie	7	300

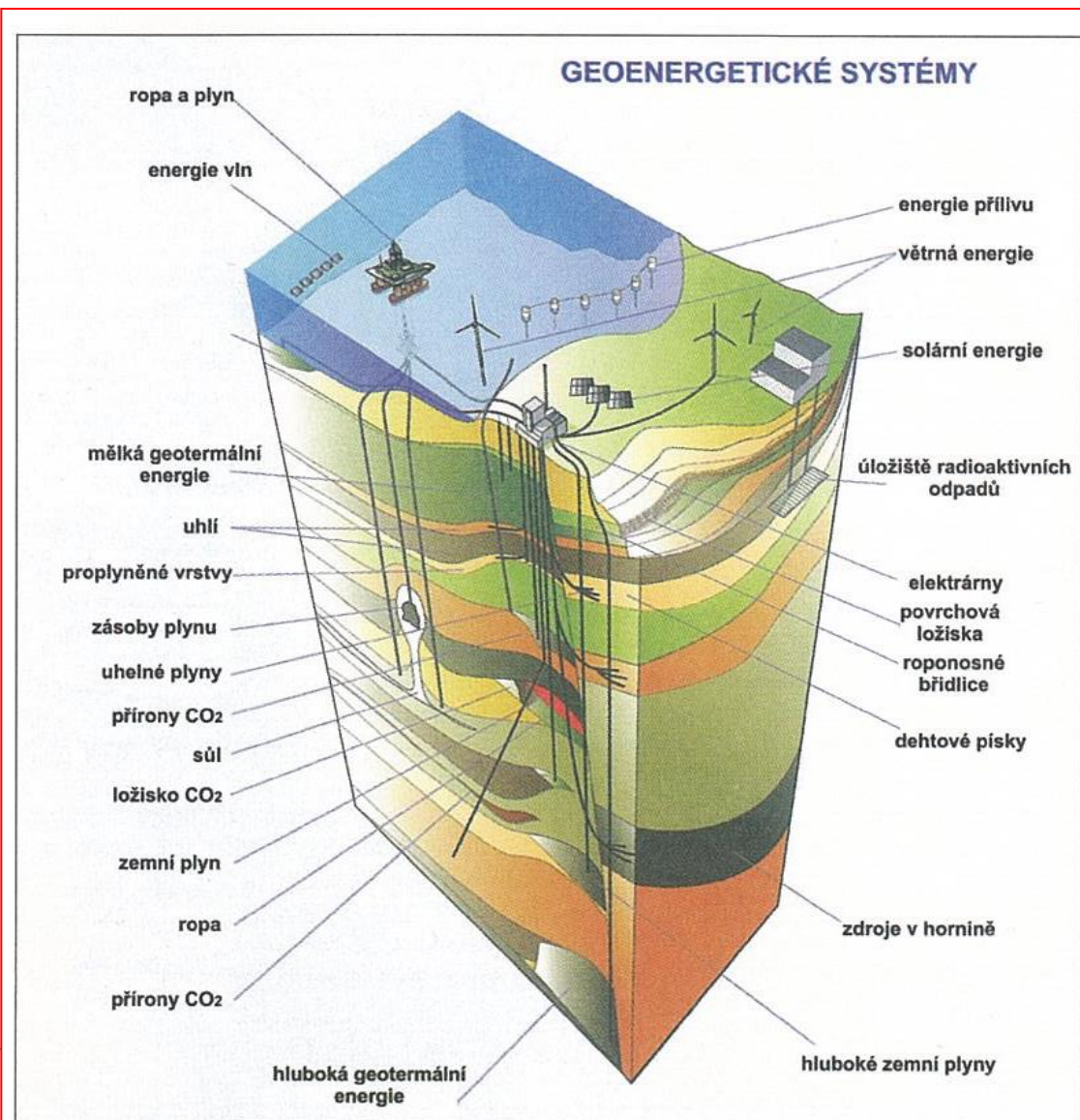
Využití větrné energie

Tabulka 7.10

Průměrná rychlosť větru v některých místech v České republice podle dlouhodobých měření
Hydrometeorologického ústavu

Místo	Nadmořská výška (m)	Rychlosť větru (m/s)
Benecko	880	4,9
Brno-Tuřany	238	3,2
Litomyšl	360	3,2
Liberec	400	3,1
Jeseník	671	3,1
Hradec Králové	276	2,9
Cheb	474	2,8
Zlín	261	2,3
Praha-Uhříněves	298	2,2
Havlíčkův Brod	455	1,7
Klatovy	430	1,5
České Budějovice	388	1,4
Ústí nad Labem	155	1,4

Geoenergetické systémy



Schematicky zobrazené energetické systémy v zemské kůře.

Využití geotermální energie



Foto 2.4 Geotermální energie – Gejzír (Island)

ard Hobst



Foto 7.5 Geotermální energie – Gejzír (Island)

Foto Leonard Hobst

Využití geotermální energie

Výhody:

- ↳ žádné palivové náklady

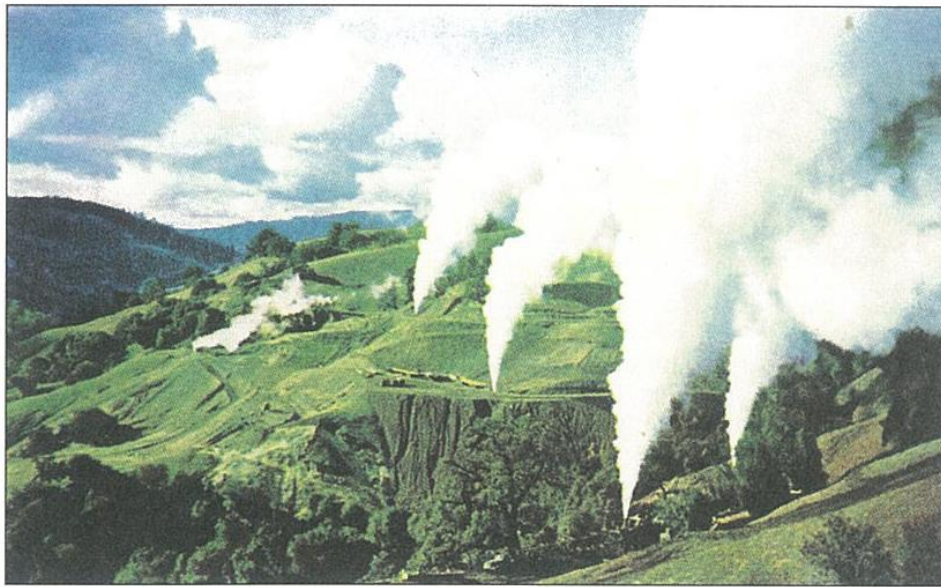
Nevýhody:

- ↳ omezený počet vhodných lokalit
- ↳ relativně nízký výkon bloku
- ↳ korozní problémy (obsah chemikálií ve vody a v páře)
- ↳ emise H_2S , NH_3

Možnosti využití:

- ↳ vytápění domů a skleníků
- ↳ výroba elektřiny

Geotermální pole



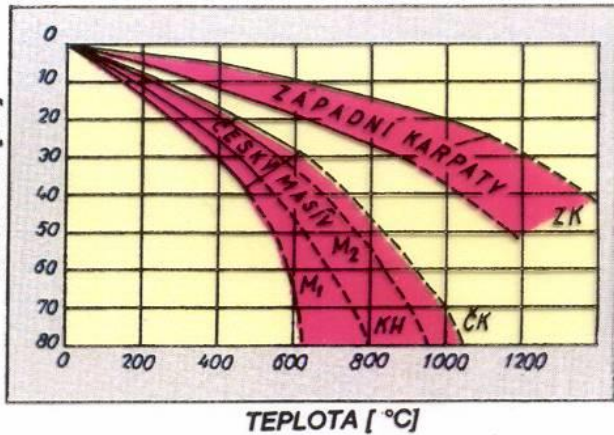
Geotermální pole The Geysers v Kalifornii.



Geotermální pole v britském Cornwallu.

Využití geotermální energie

HLOUBKA [km]



TEPLOTA [°C]

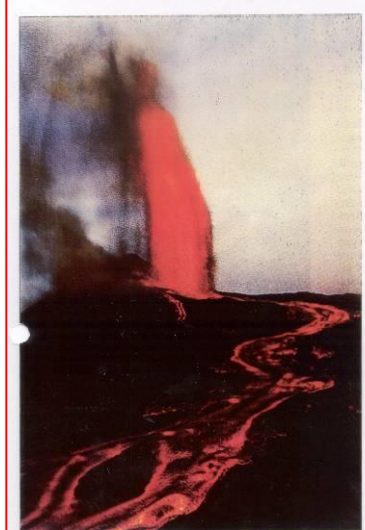
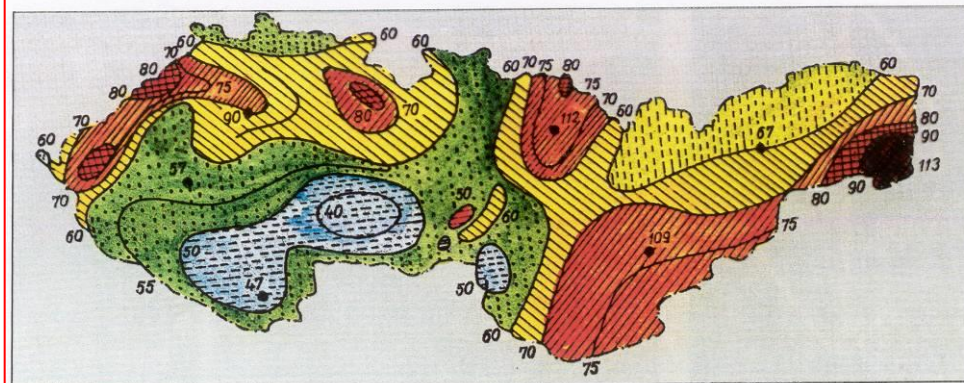
Růst teploty v zemské kůře na území ČSFR.

M1, M2 – pod Českým masívem

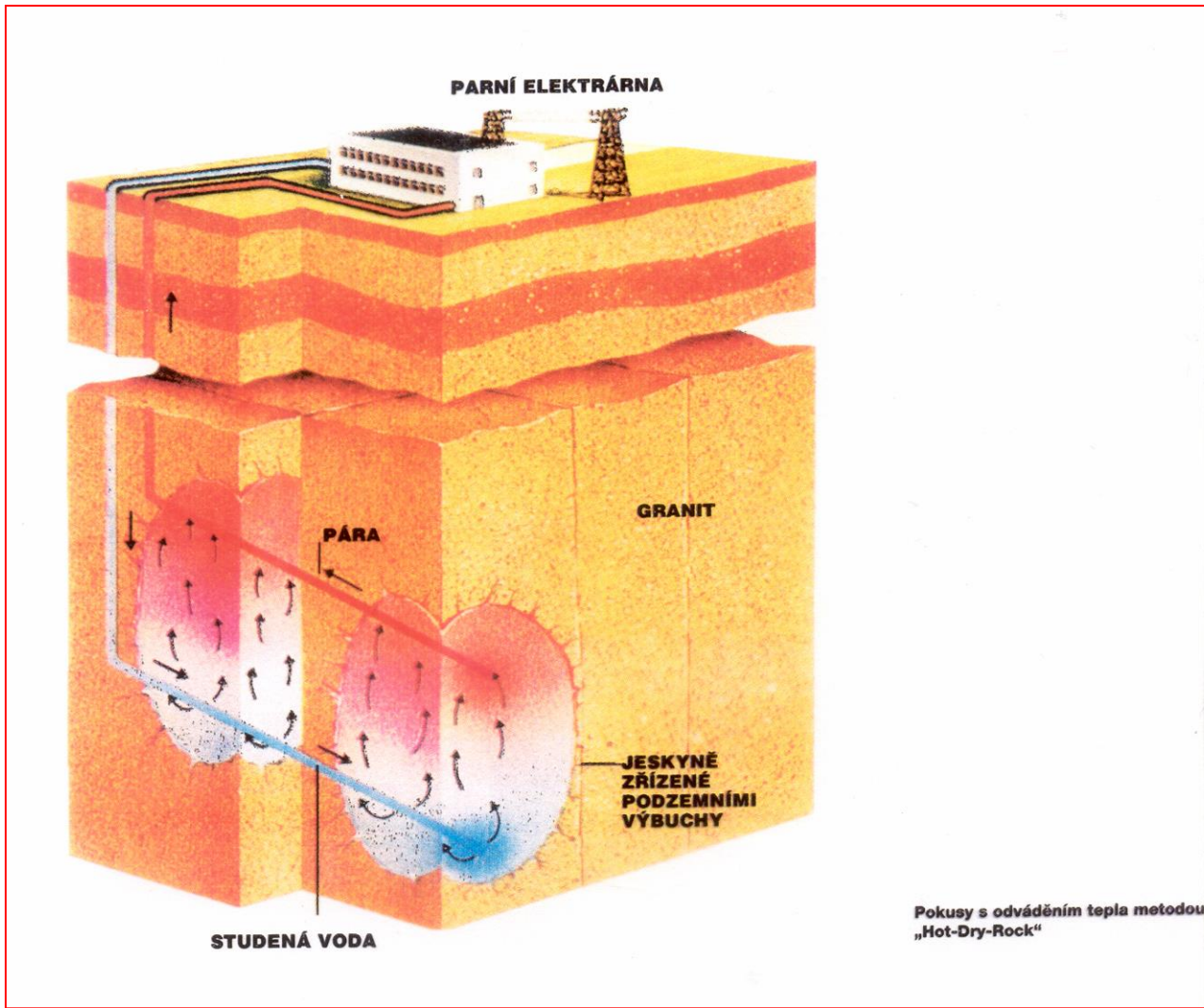
KH – pod Krušnými horami

ČK – pod Českou křídou

ZK – pod Karpaty



Využití geotermální energie



Využití geotermální energie

Zemské teplo jako trvalý zdroj energie

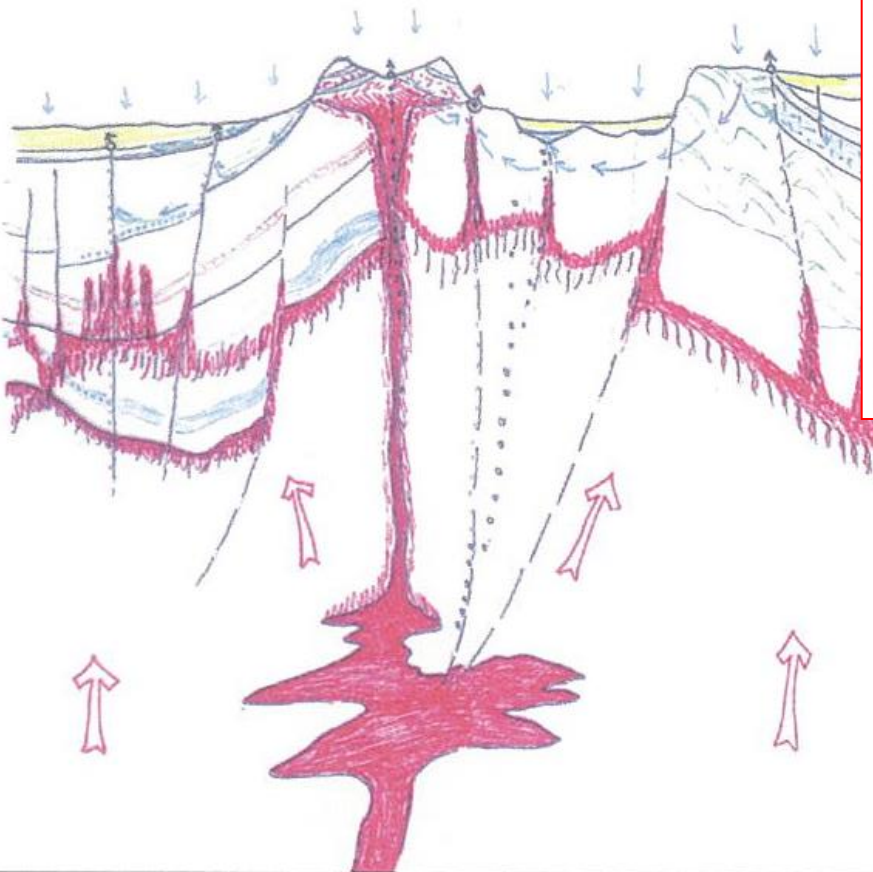


Schéma výstupu zemského tepla z magmatického krbu.

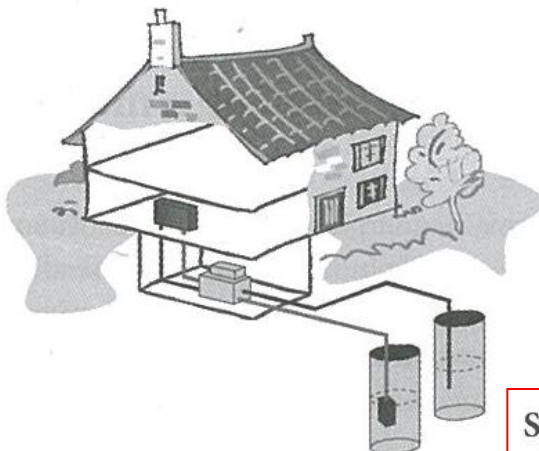
Růst teploty s hloubkou v kontinentální a oceánské kůře

Hloubka pod povrchem	Teplota ve °C	
	uprostřed kontinentu	uprostřed oceánu
50 km	500	750
100 km	750	1100
200 km	1100	1600
300 km	1200	1650
400 km	1400	1750

Systémy získávání primárních zdrojů zemského tepla

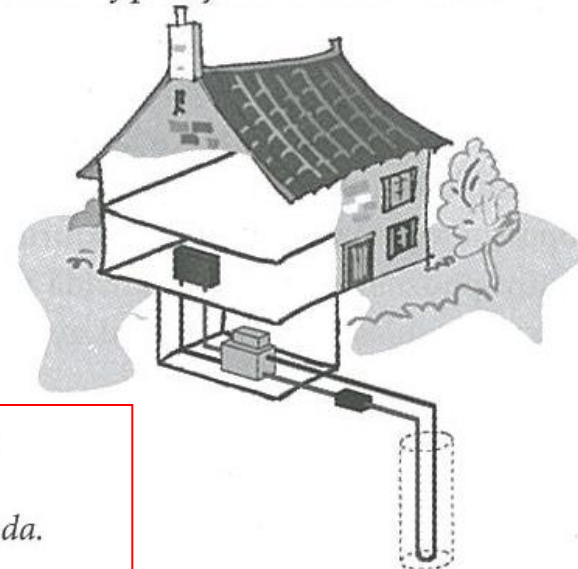
Systém voda – voda

Obr. 6 Primární zdroj pro systém voda – voda.



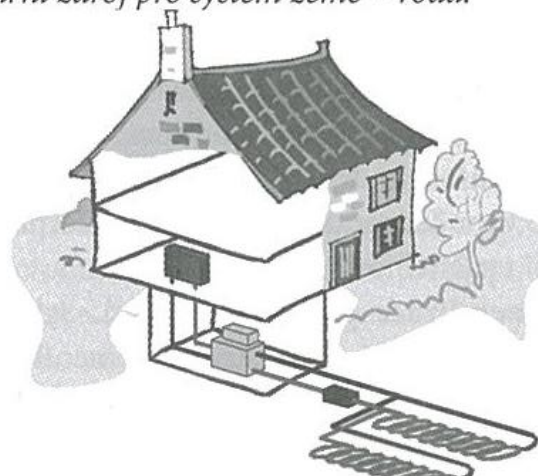
Systém země – voda svislý výměník

Obr. 7 Primární zdroj pro systém země – voda.

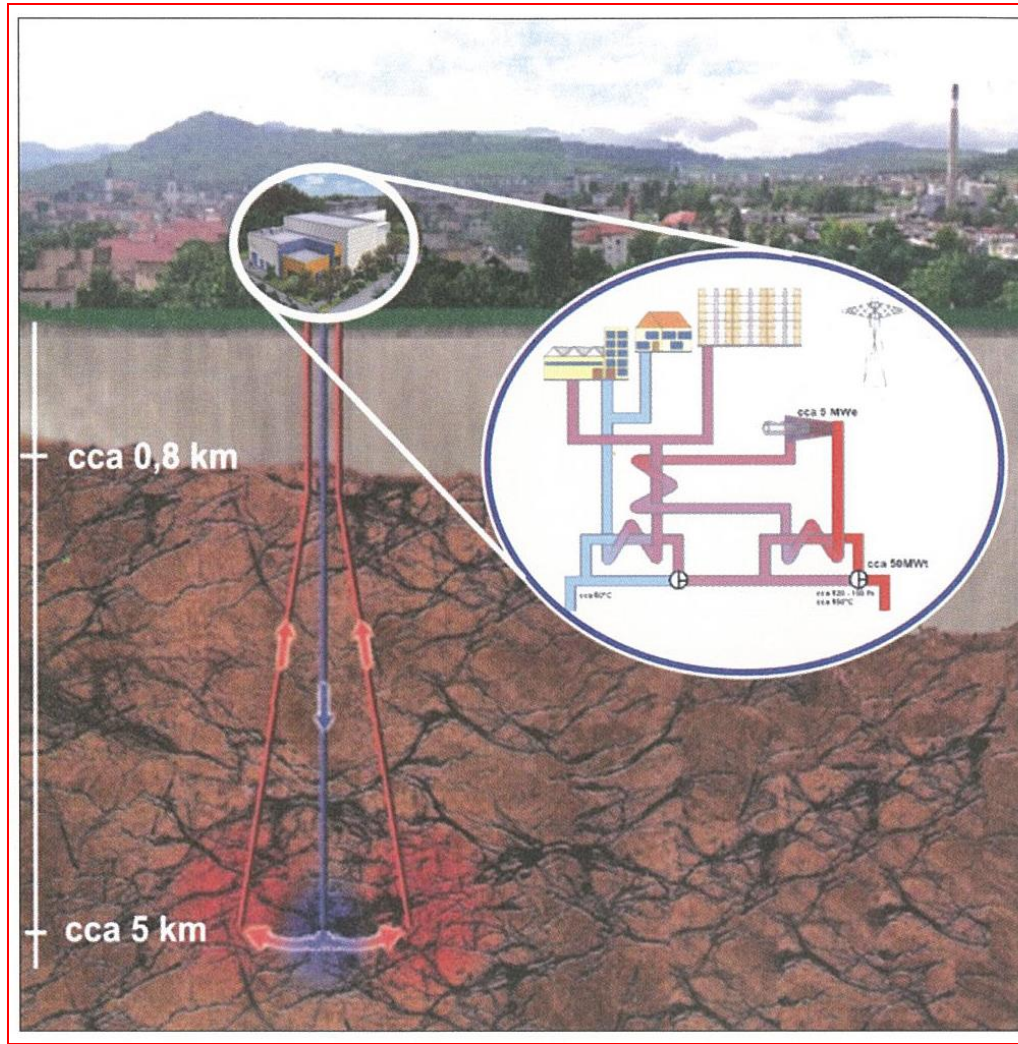


Systém země – voda vodorovný výměník

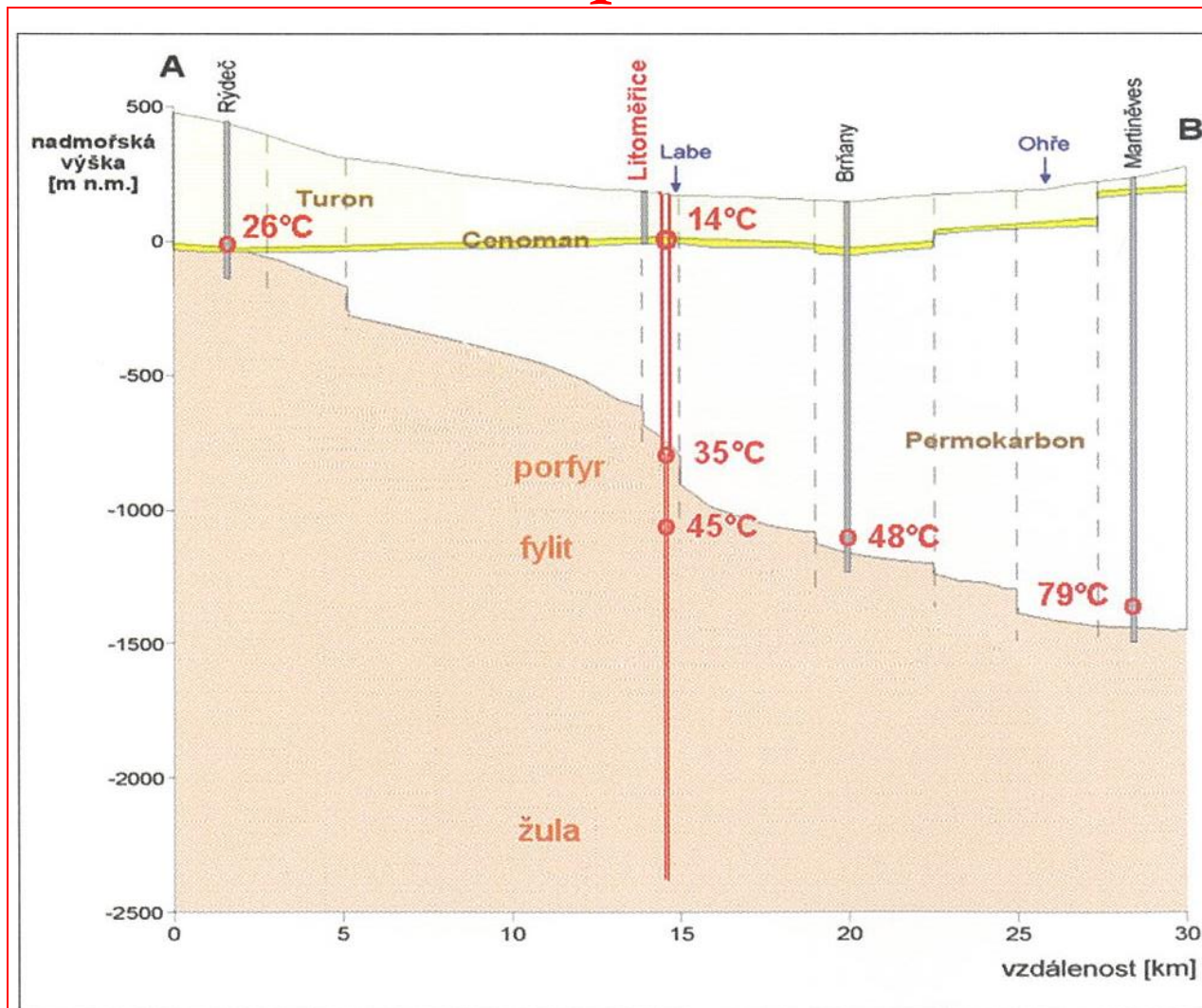
Obr. 8 Primární zdroj pro systém země – voda.



Systémy získávání primárních zdrojů zemského tepla



Systémy získávání primárních zdrojů zemského tepla



Schematicky znázorněné technické a geologické podklady současného projektu na využití zemského tepla v Litoměřicích.

Využití tepelné energie oceánů

Výhody:

- ↳ žádné palivové náklady
- ↳ čistý zdroj E

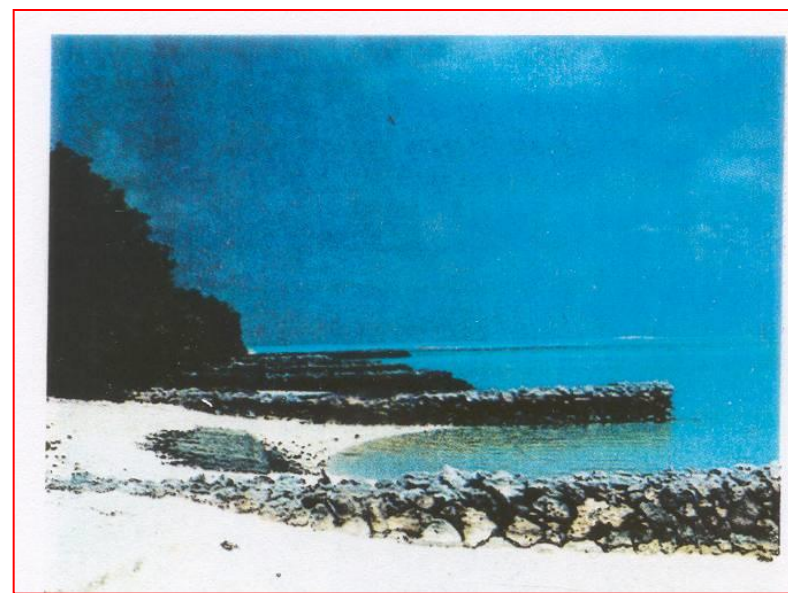
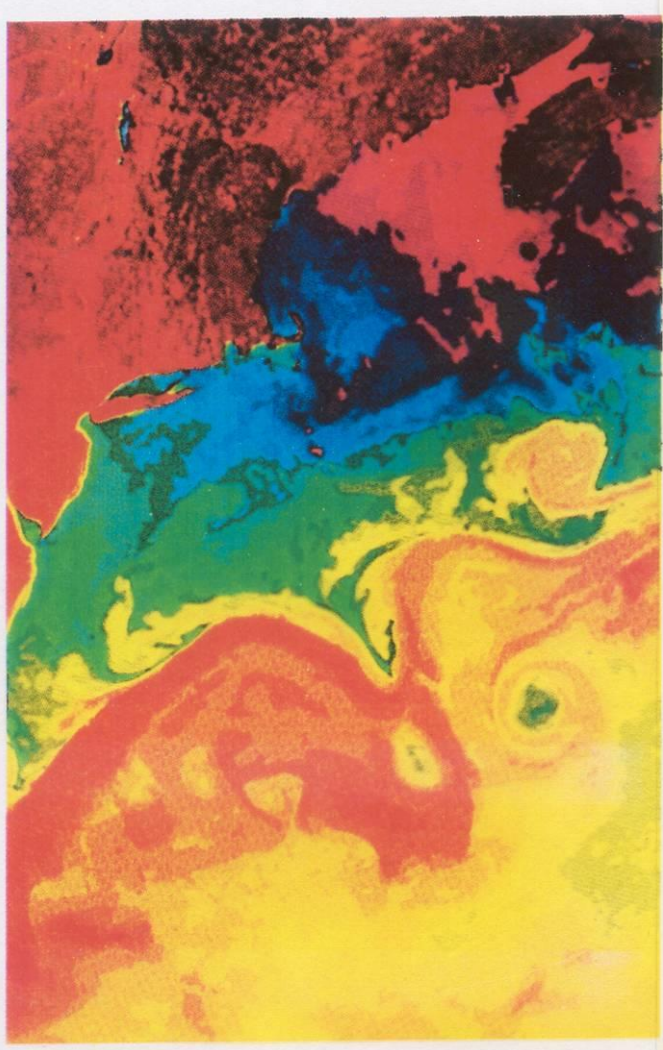
Nevýhody:

- ↳ nízká účinnost přeměny E
- ↳ korozní problémy zařízení
- ↳ problémy s vývojem velkoplošných výměníků tepla, turbin, čerpadel

Možnosti využití:

- ↳ výroba elektřiny a její využití na produkci H₂, N₂, U z mořské vody

Využití tepelné energie oceánů



▲ Zobrazení teplotního rozložení vod na povrchu oceánu (pohled ze satelitu). Oranžová a žlutá barva odhalují víry teplého Golfského proudu, zelená a modrá studených proudu. Tyto výry promíchávají sloupce vody až ke dnu a vytvářejí usazené kaly.

Využití kinetické energie oceánů – energie mořských vln

Výhody:

- ↳ žádné palivové náklady
- ↳ čistý zdroj E

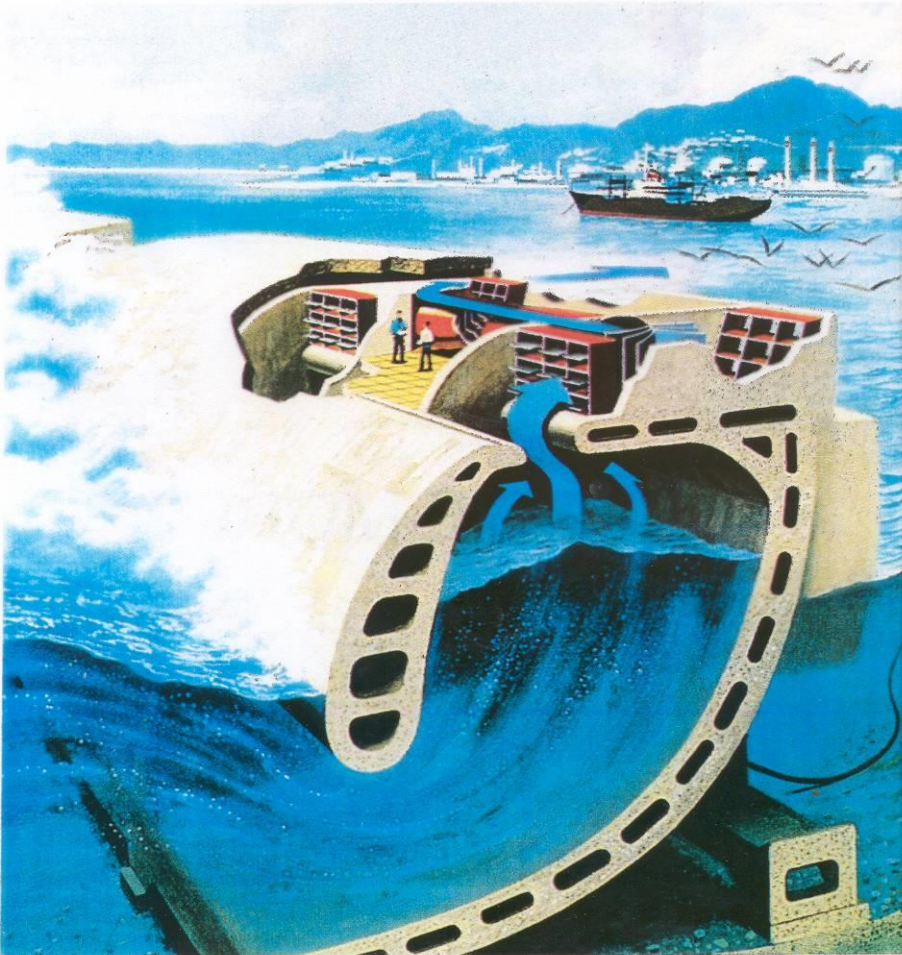
Nevýhody:

- ↳ malá výkonová hustota

Možnosti využití:

- ↳ výroba elektřiny a její využití na produkci H₂, U ...

Využití kinetické energie oceánů – energie mořských vln



Research Centre for Toxic Compounds in the Environment

<http://recetox.muni.cz>

Využití vodní energie



Foto 7.1 Vodní energie – Niagarské vodopády (USA, Kanada)

Foto Leonard Hobst



Foto 2.3 Vodní energie – vodopády Iguazu (Brazílie)

Foto Leonard Hobst

Využití vodní energie



Využití biomasy

FOTOSYNTÉZA A PŘEMĚNA BIOLOGICKÉ HMOTY:

Výhody:

- ↳ maximální využití zemědělských, lesních a městských odpadů na výrobu E
- ↳ možnosti využití dosud neobdělávané půdy

Nevýhody:

- ↳ nízká účinnost přeměny sluneční E
- ↳ vyžaduje velké plochy na pěstování rychle rostoucích rostlin a dřevin
- ↳ nákladná příprava půdy (odvodňování bažin a močálů)

Využití biomasy

Možnosti využití:

- ↳ výroba kapalných a plynných paliv
- ↳ pyrolýzou (plyn, topný olej)
- ↳ fermentací

Co je to biomasa? Je to jakýkoli materiál organického původu, tedy živočichové, rostliny a jejich odpady. V našich podmínkách lze využívat zejména dřevo a dřevní odpad z lesů, odpady z obilním (sláma, kukuřičné listy), zvířecí exkremeny (výkal), odpady z čistění odpadních vod, organické části městských odpadů, energetické kultury (rostliny s vysokým energetickým obsahem, řepka na výrobu nafty, ...).



● suché procesy (termochemická přeměna)

- spalování,
 - zplyňování,
- mokré procesy (biochemická přeměna)
- fermentace,
 - anaerobní vyhnívání (bioplyn).

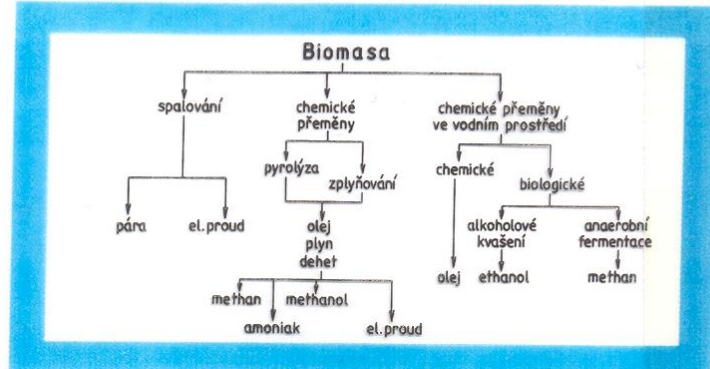
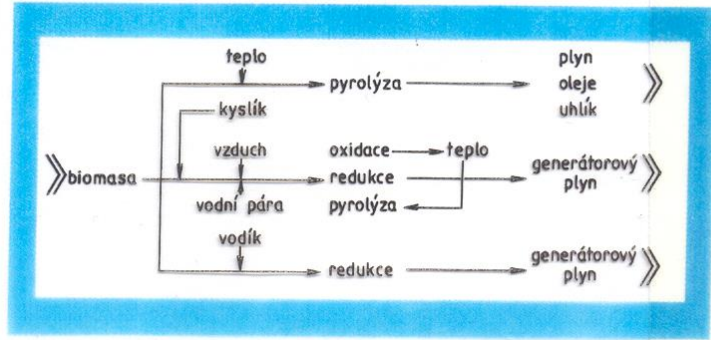
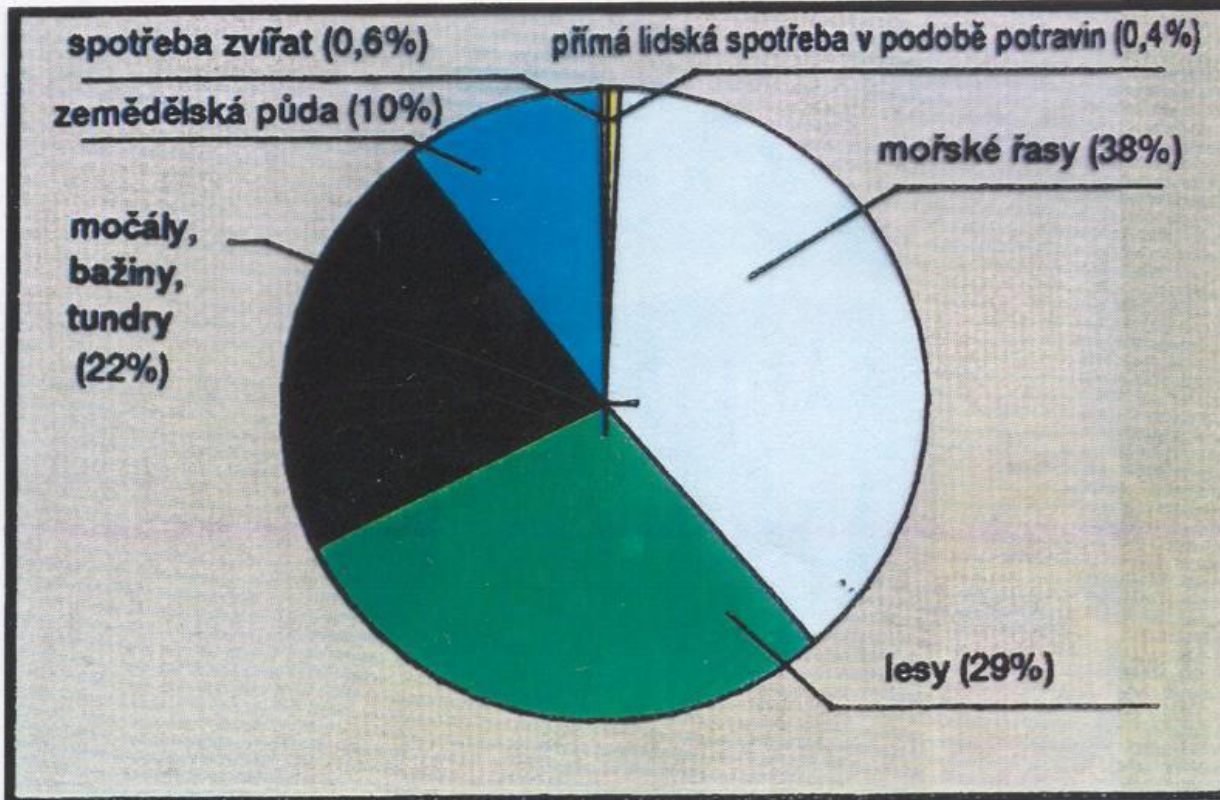


Schéma přeměny energie biomasy v jiné formy energie

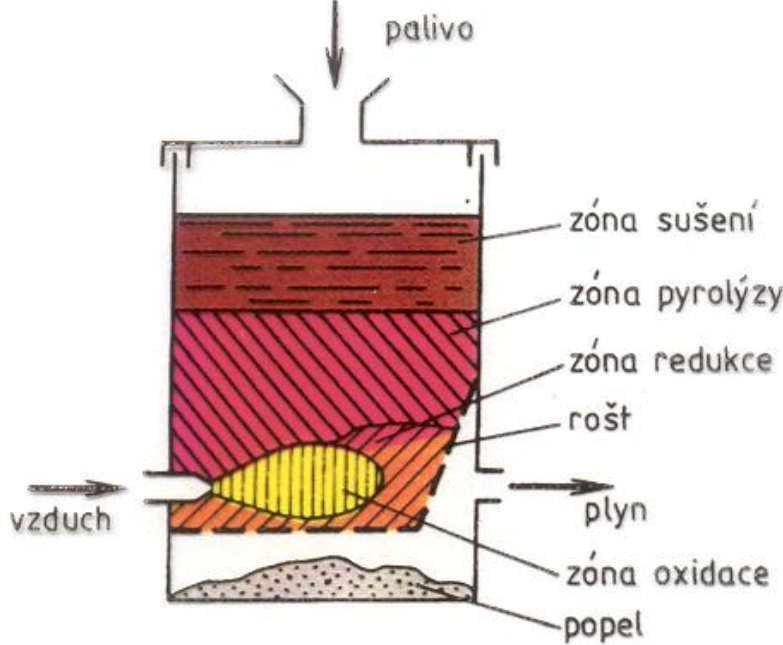


Procesy zplyňování

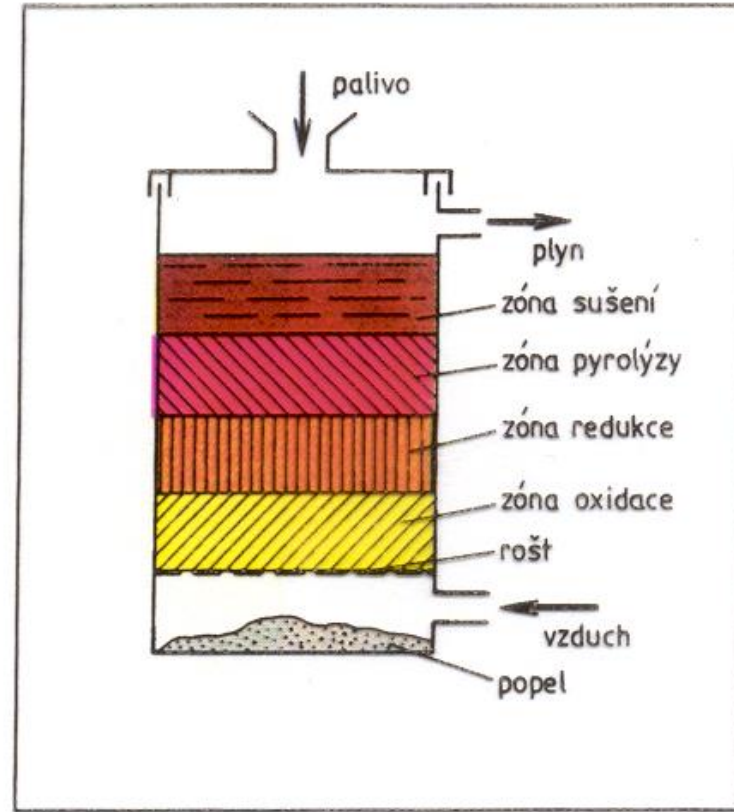
Energetický potenciál biomasy



Výroba bioplynu

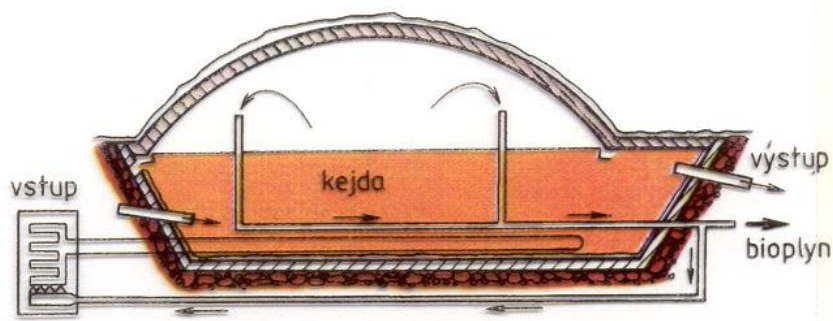


Zplyňovač s příčným prouděním



Protiproudý zplyňovač

Výroba bioplynu



Plug-flow systém s pevným plastovým krytem

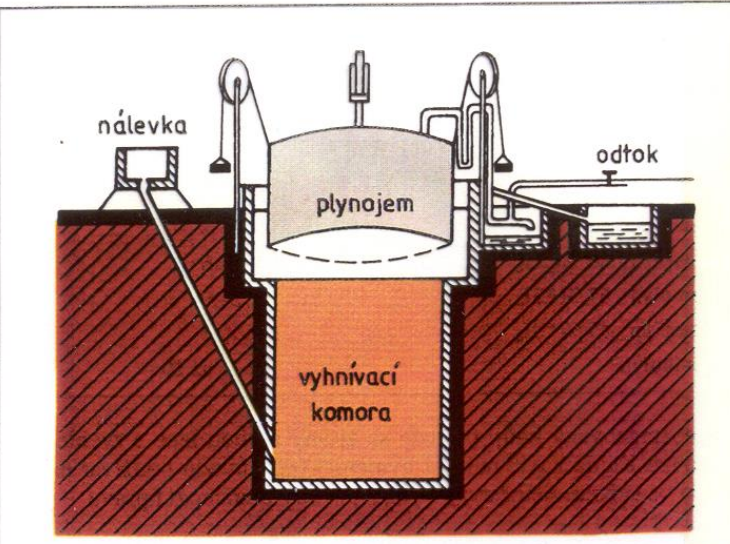


Schéma zařízení na výrobu bioplynu používané v Indii

Obecně lze pro odhad bioplynového potenciálu v hnoji použít přibližné údaje:

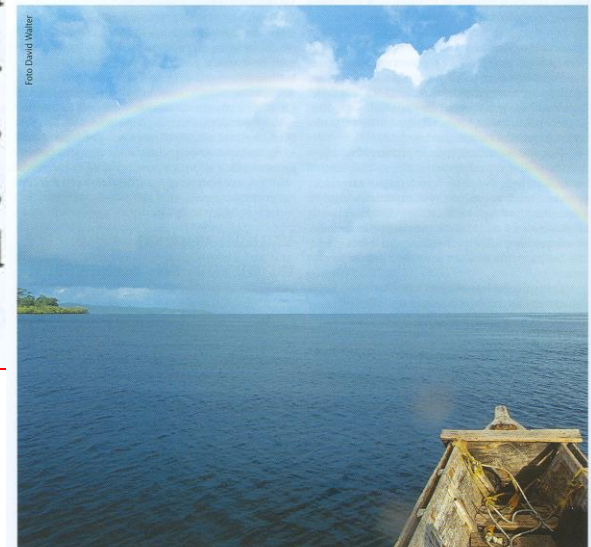
1 kráva (500 kg)	25 MJ/den
1 prasnice (150 kg)	7 MJ/den
10 prasat (60 kg/ks)	32 MJ/den
200 ks drůbeže	36 MJ/den

Elektrolýza vody

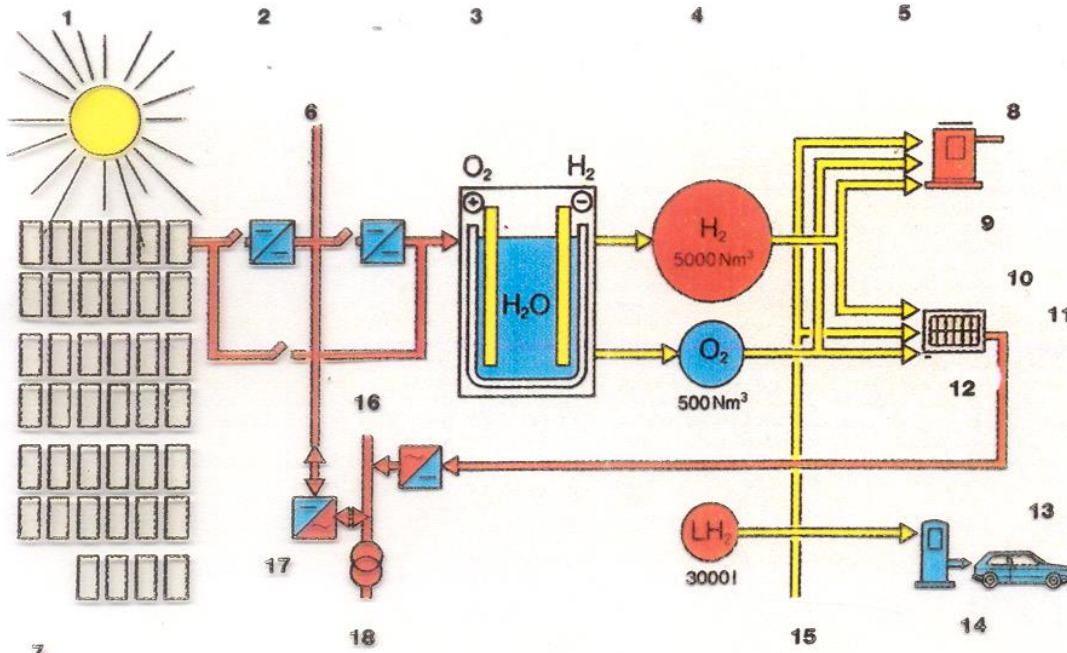
Elektrolýza

Elektrolýza je nejznámější způsob výroby vodíku z vody. V současné době je účinnost elektrolýzy asi 75 procent. Očekává se však, že do roku 2020 by mohla dosáhnout až 83 procent.

Při masivním nasazení vodíkové energetiky lze počítat s elektrolýzou ve dvou výkonově velmi rozdílných oblastech. První oblastí, s velkými výkony, bude výroba vodíku v jaderných elektrárnách v době jejich odlehčení. Toto odlehčení je jednak krátkodobé v průběhu dne, mimo špičky v elektrizační soustavě, jednak dlouhodobé, sezonní, například v našich evropských podmínkách od pozdnějšího jara do počátku podzimu.

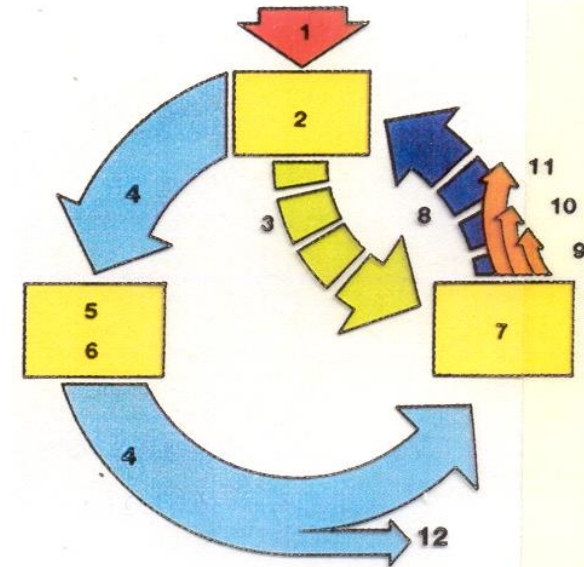


Elektrolýza vody



Demonstrační jednotka elektrolyzéru:

- 1 - Výroba „sluneční“ elektřiny 2 - Rozvod elektrického výkonu 3 - Výroba vodíku a kyslíku
4 - Zásobníky 5 - Spotřebitelé 6 - Stejnosměrná sběrnice 0,3-0,43 kV
7 - Sluneční panely 280 kW 8 - 40 kW teplo 9 - Ohříváč 10 - 86 kW elektřina
11 - 42 kW teplo 12 - Palivové články 13 - Pohon 14 - Tankovací stanice LH_2
15 - Zemní plyn 16 - Střídavá sběrnice 0,4 kV 17 - Měnič proudu
18 - Elektrická síť 20 kV



Uzávřený cyklus vodíku a kyslíku:

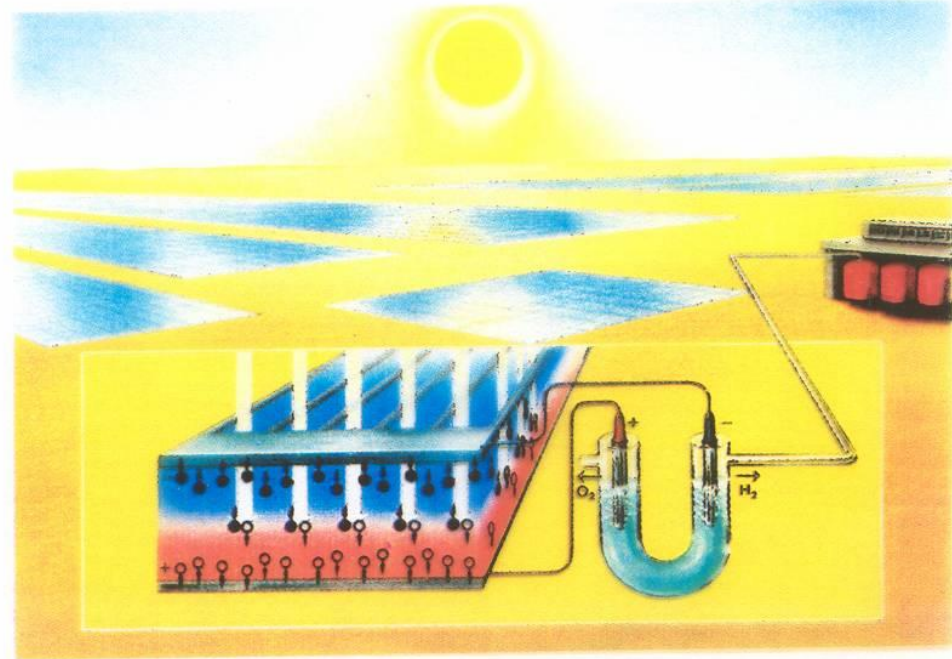
- 1 - Sluneční elektřina 2 - Elektrolýza 3 - Kyslík
4 - Vodík 5 - Skladování 6 - Doprava potrubím
7 - Spalování 8 - Voda 9 - Elektrický proud
10 - Teplo 11 - Pohonné hmoty 12 - Chemie

Elektrolýza vody

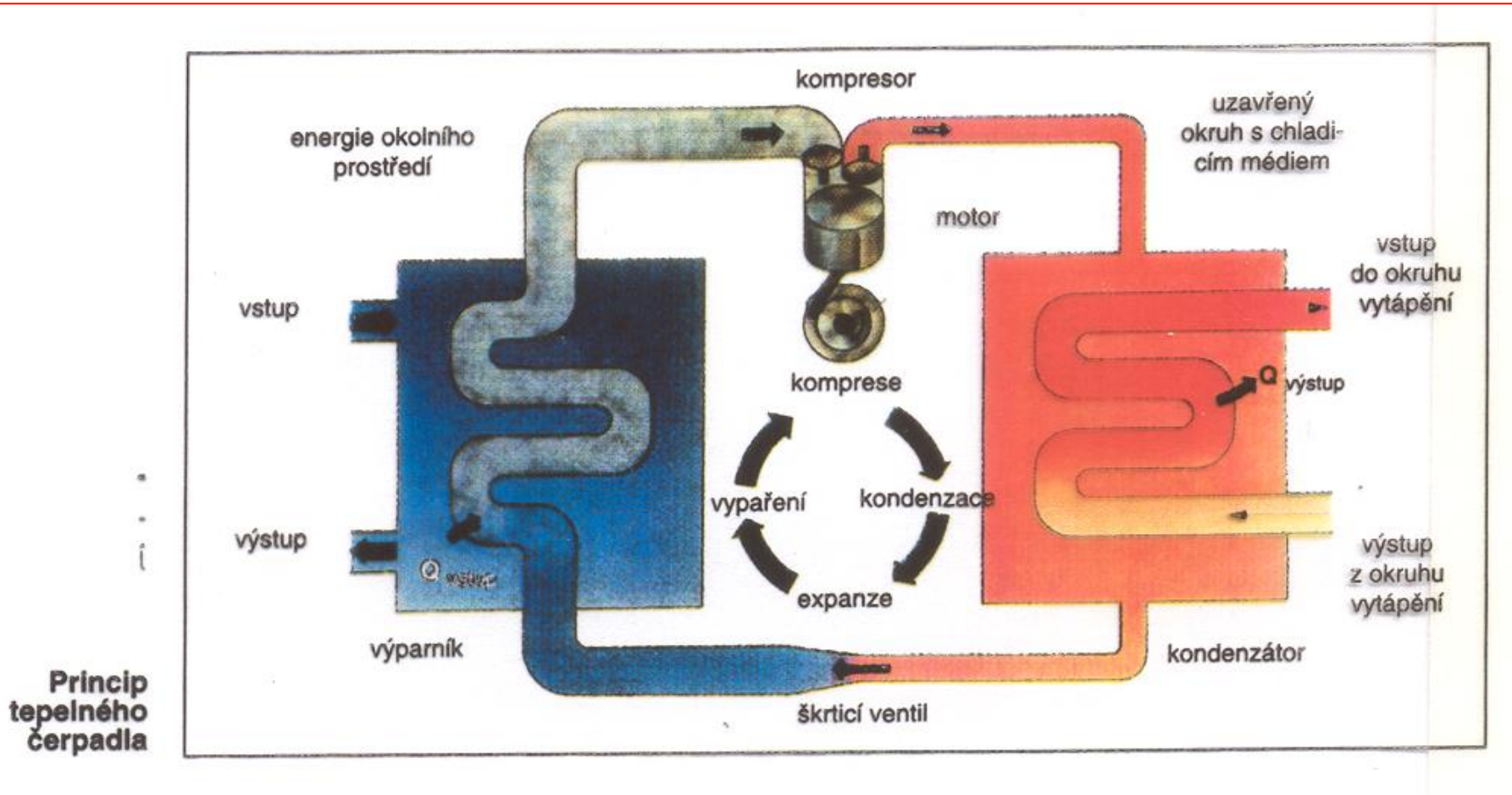


Solární plantáž zásobující elektrolyzéry na výrobu vodíku rozkladem vody.

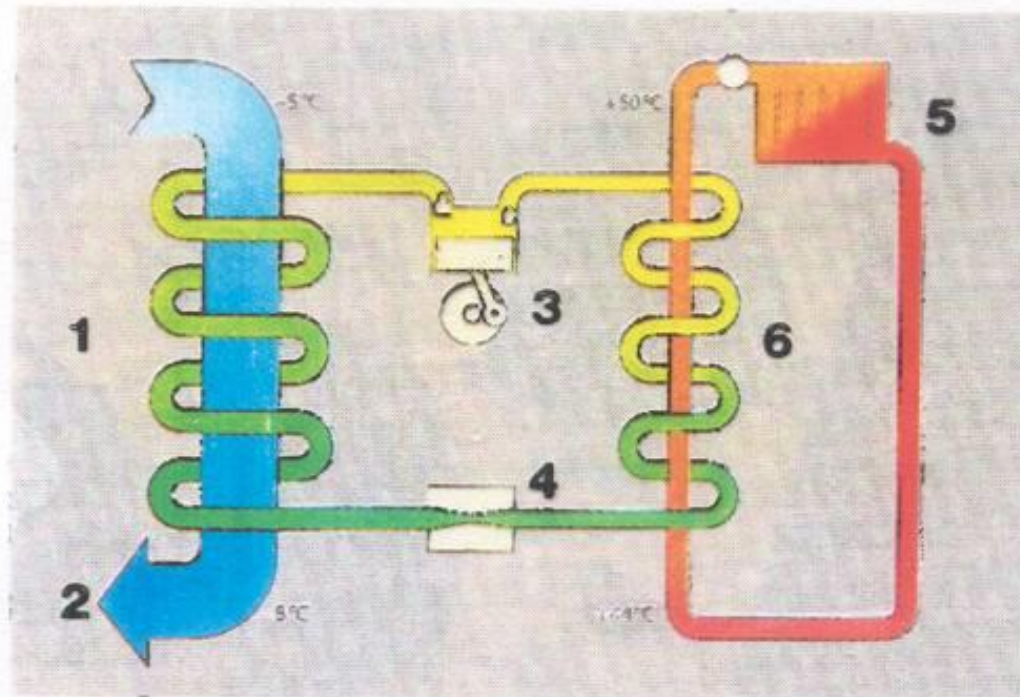
Vodíko-kyslíkový palivový článek s výkonem 100 kW ve funkci přenosné „balené“ elektrárny.



Tepelná čerpadla



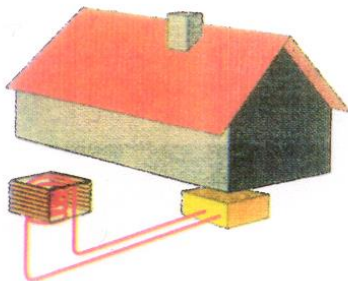
Tepelná čerpadla



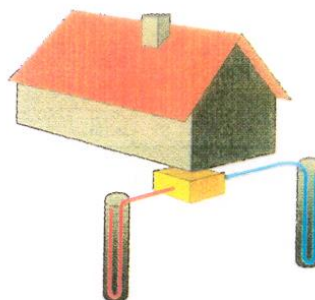
Princip elektricky poháněného tepelného čerpadla:

- 1 – výparník
- 2 – ochlazení prostředí
- 3 – kompresor
- 4 – škrticí ventil
- 5 – topný radiátor
- 6 – kondenzátor

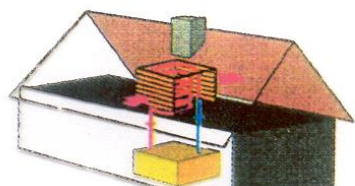
Tepelná čerpadla



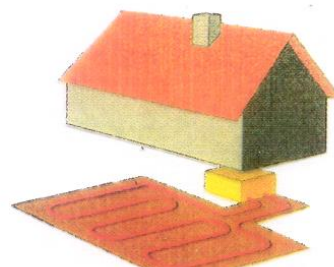
Získávání tepla z okolního vzduchu



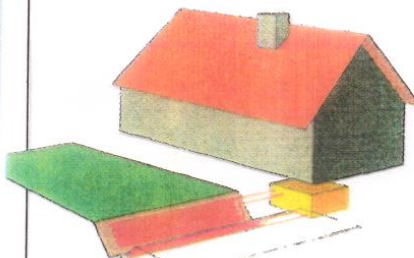
Získávání tepla z hlubinných vrtů



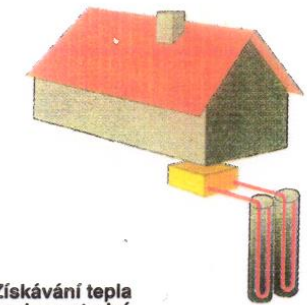
Získávání tepla z odpadního vzduchu



Získávání tepla z půdy

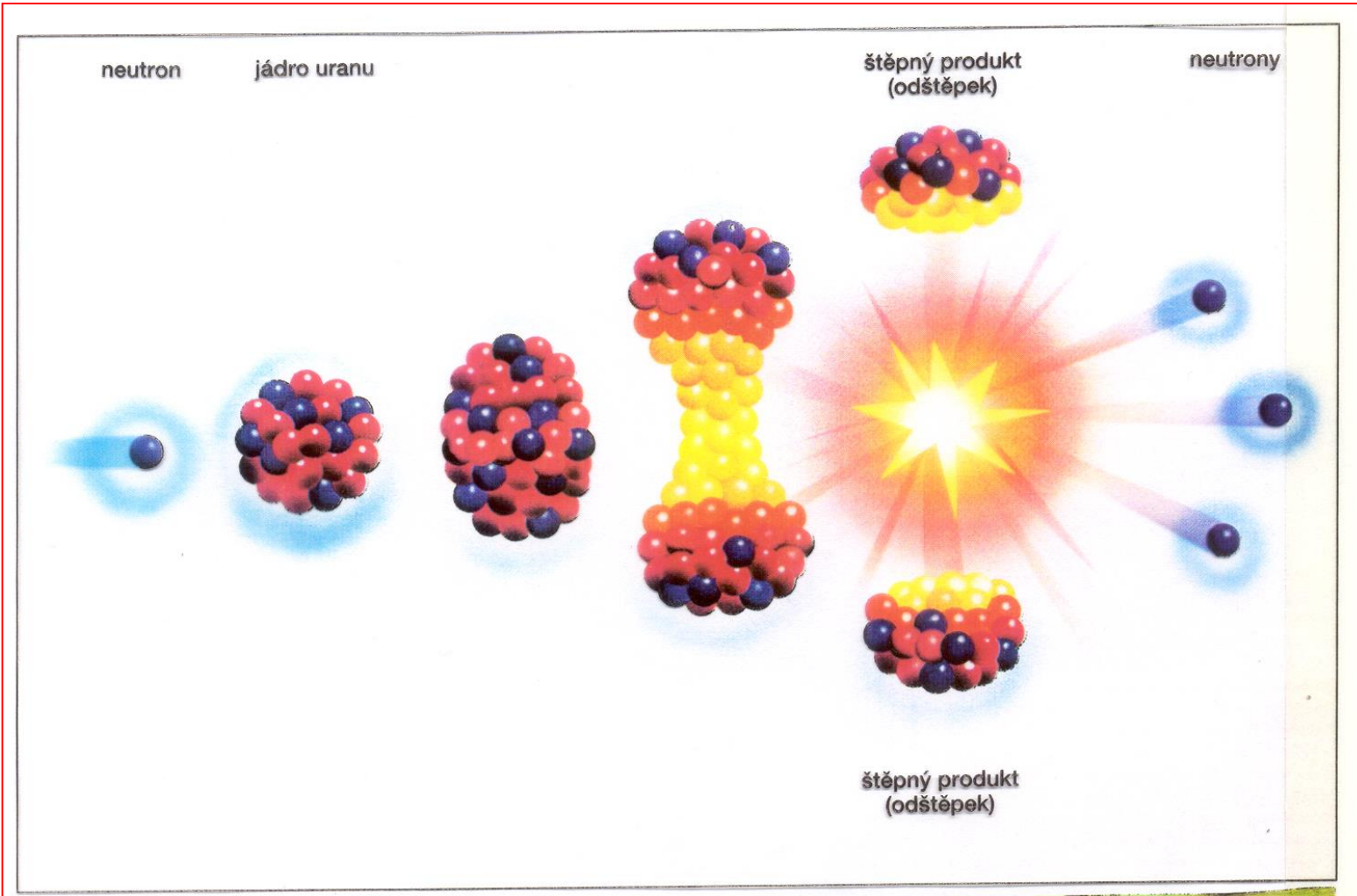


Získávání tepla z povrchových vod

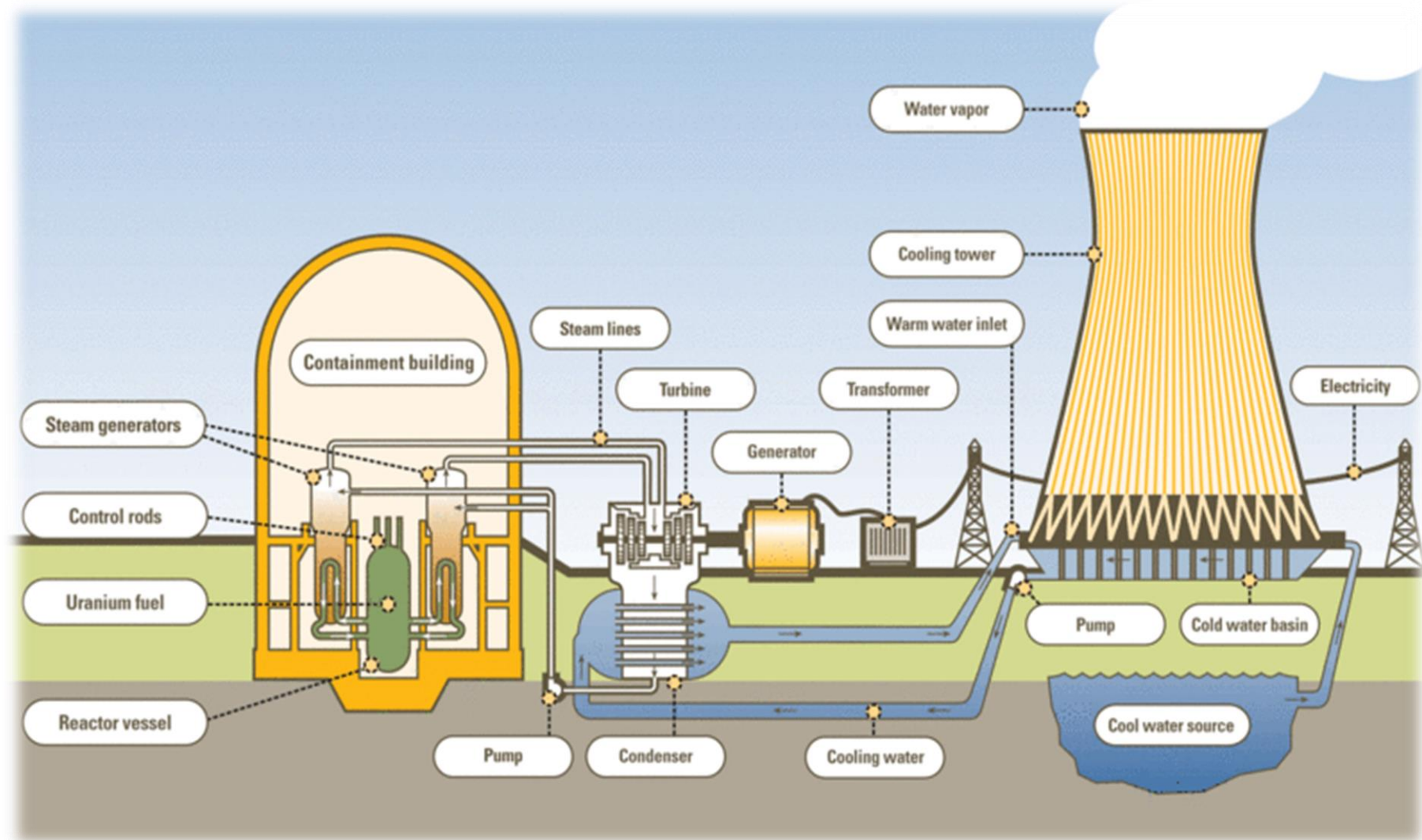


Získávání tepla ze dvou studní

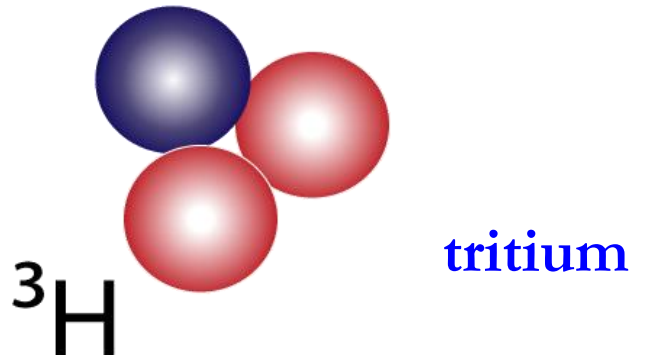
Jaderná energetika



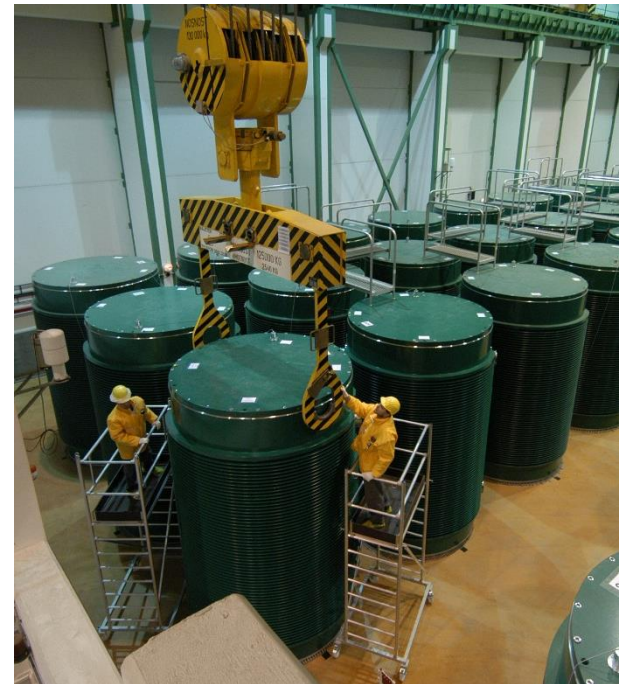
Jak funguje jaderná elektrárna ?



Co přitom vzniká



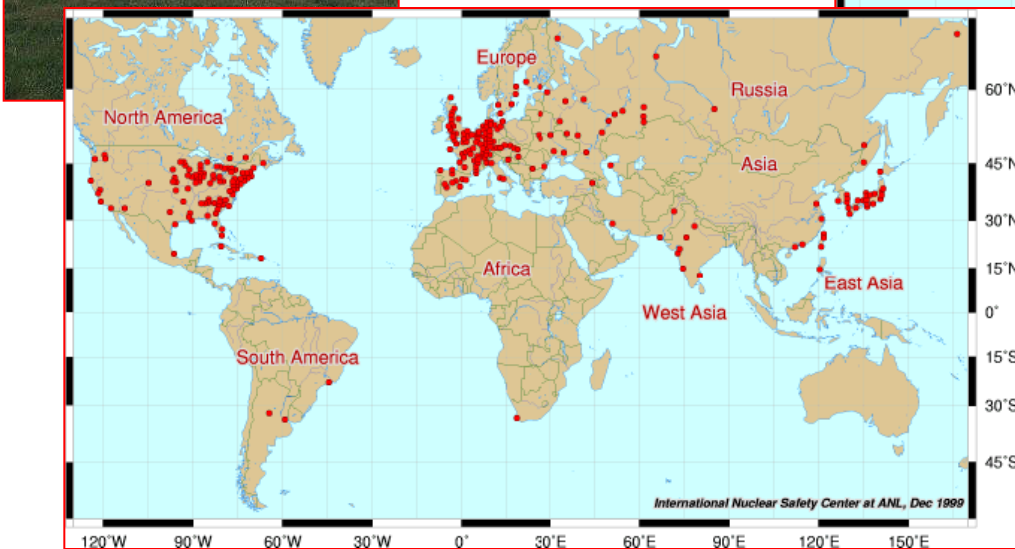
vodní pára



použité palivo

helium

Jaderná energetika

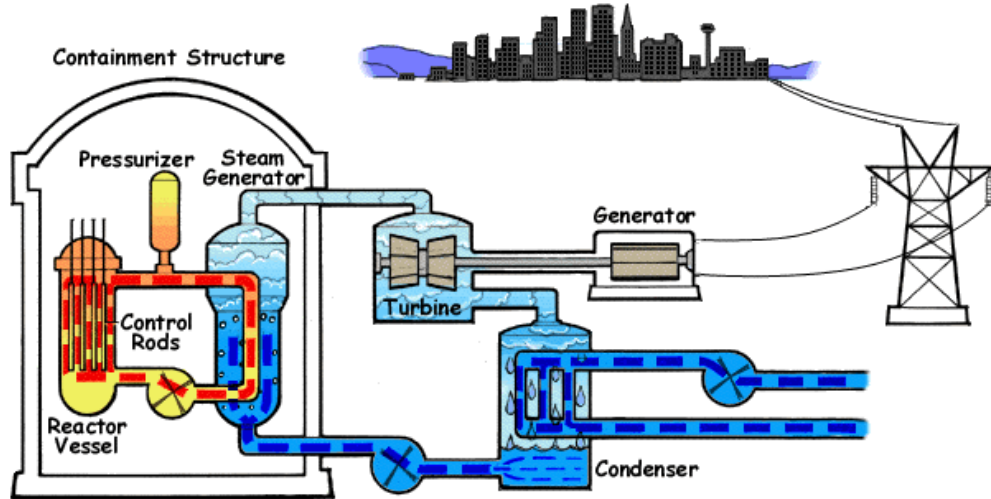


Research Centre for Toxic Compounds in the Environment

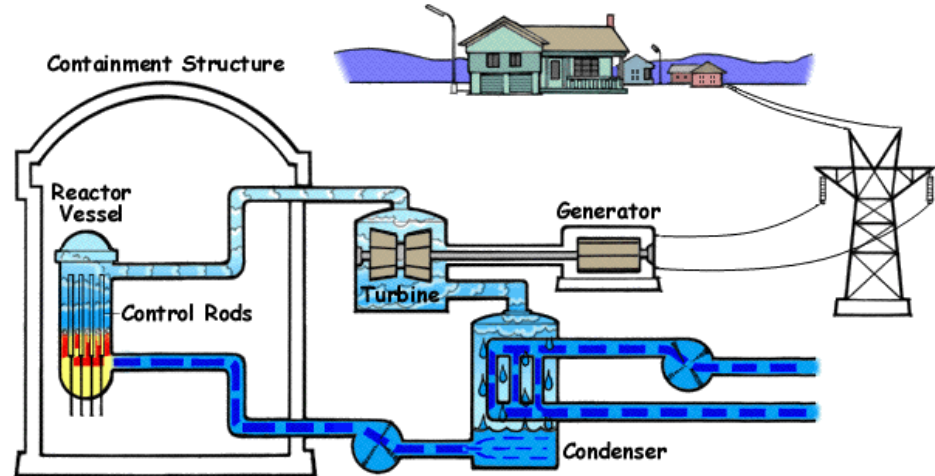
<http://recetox.muni.cz>

Jaderná energetika

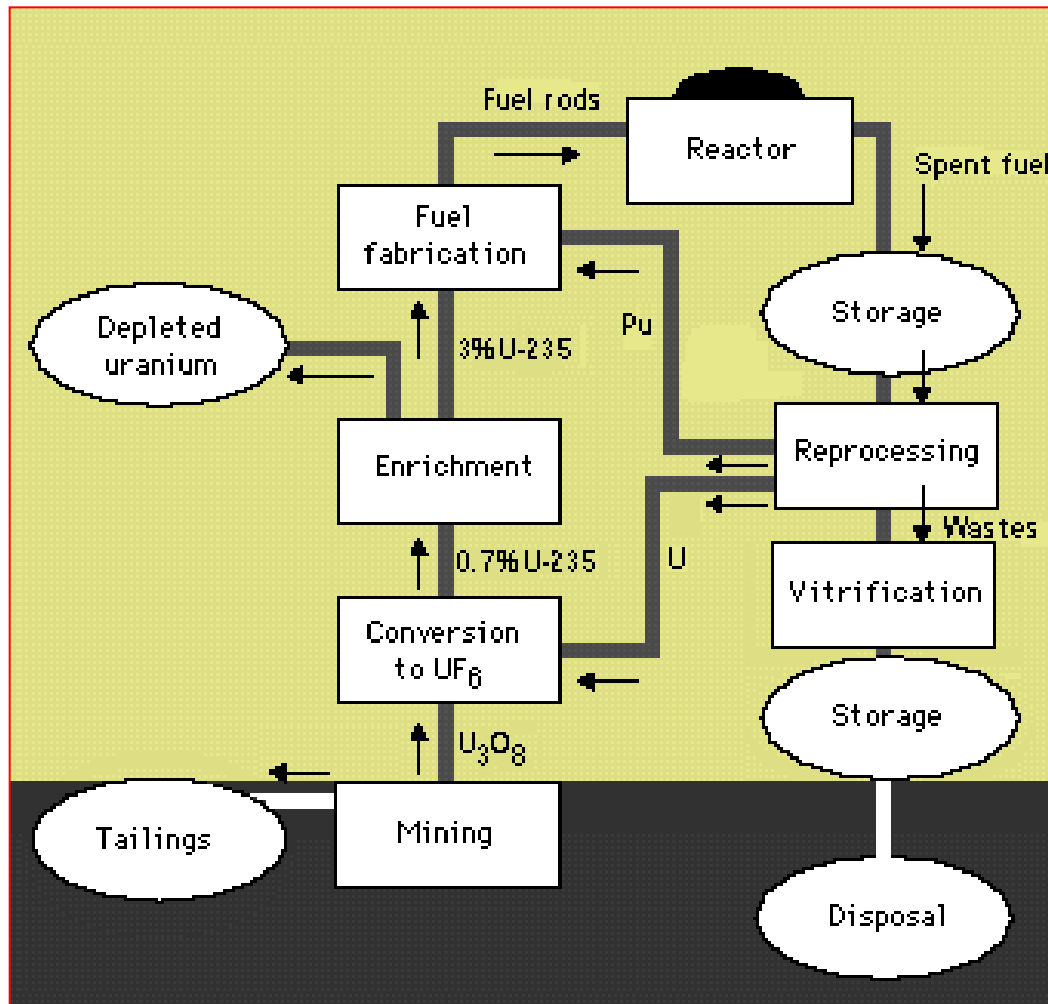
The Pressurized Water Reactor (PWR)



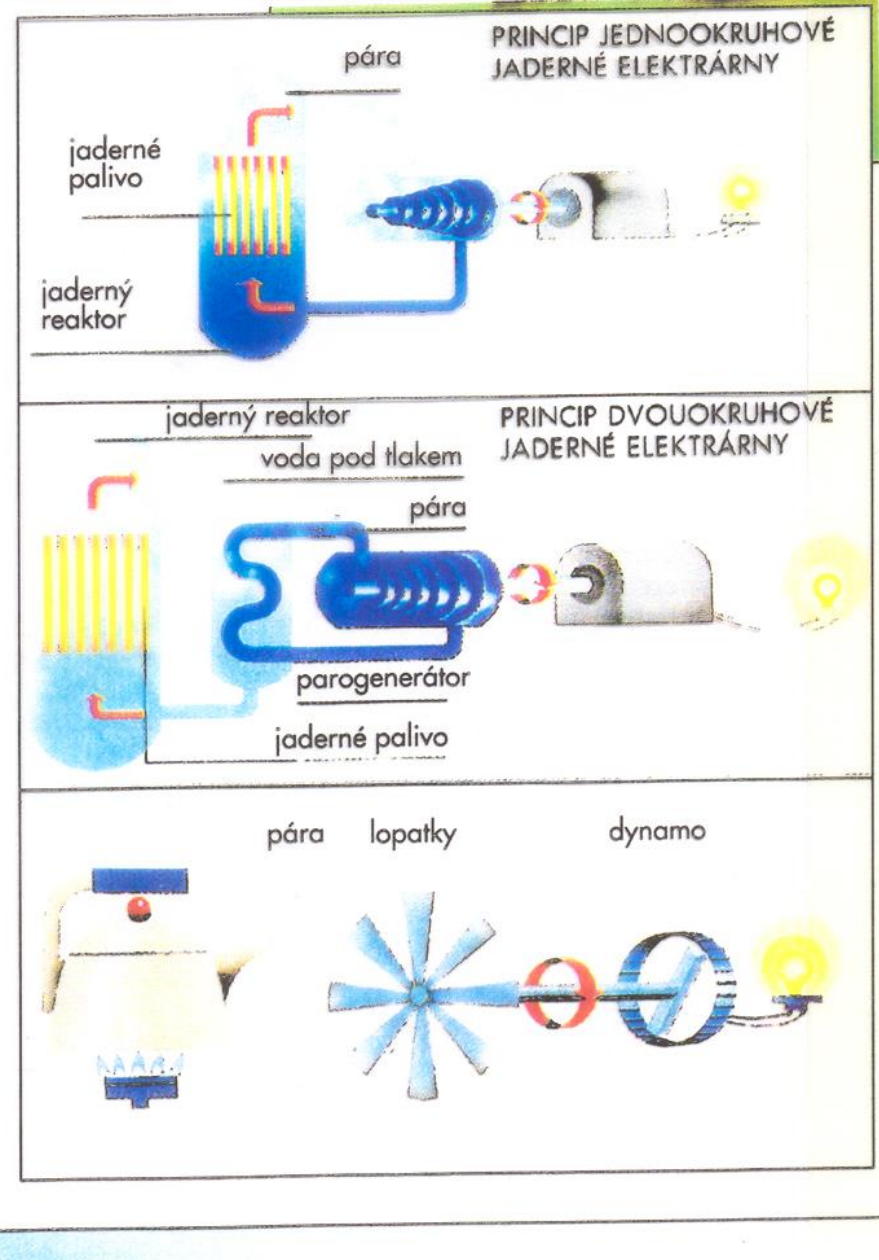
The Boiling Water Reactor (BWR)



Jaderná energetika



Jaderná energetika



Research Centre for Toxic Compounds in the Environment

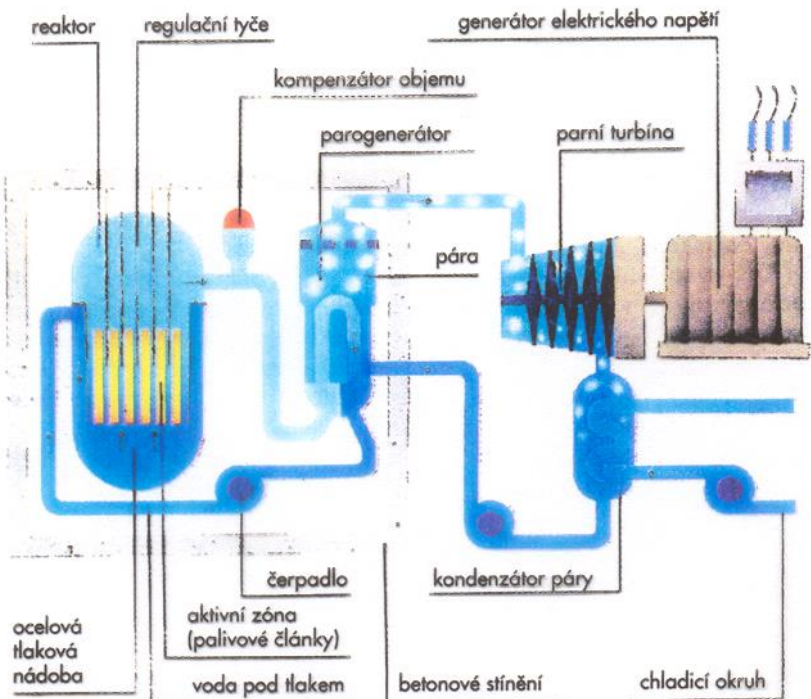
<http://recetox.muni.cz>

Jaderná energetika

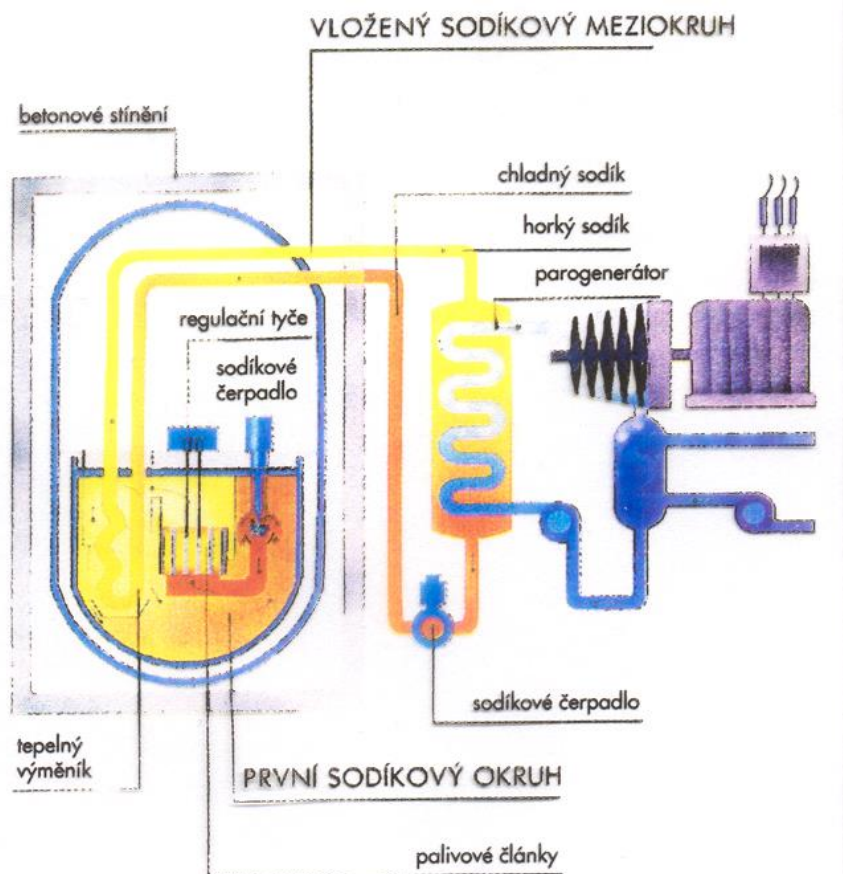
Výrobní blok s tlakovodním reaktorem typu PWR

PRIMÁRNÍ OKRUH

SEKUNDÁRNÍ OKRUH

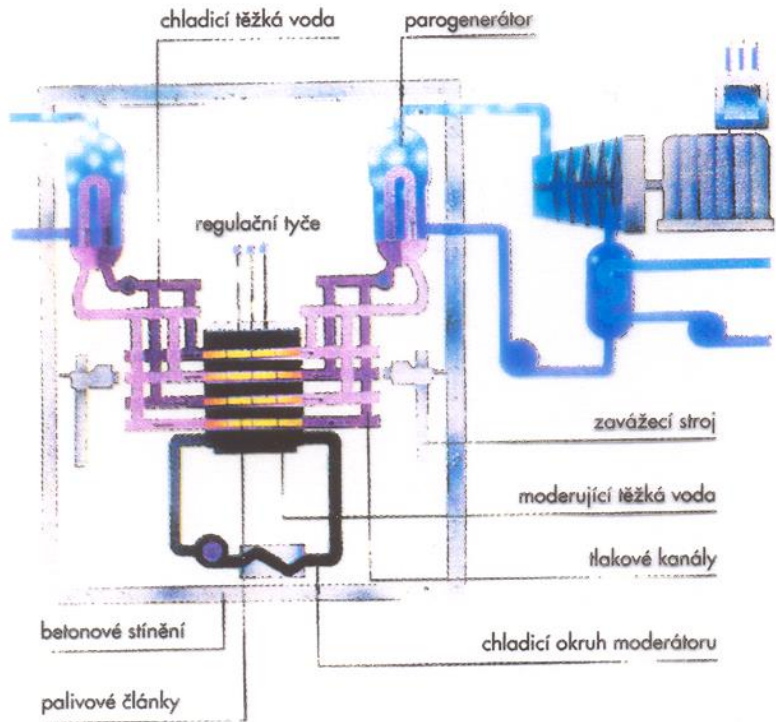


Výrobní blok s rychlým množivým reaktorem typu FBR



Jaderná energetika

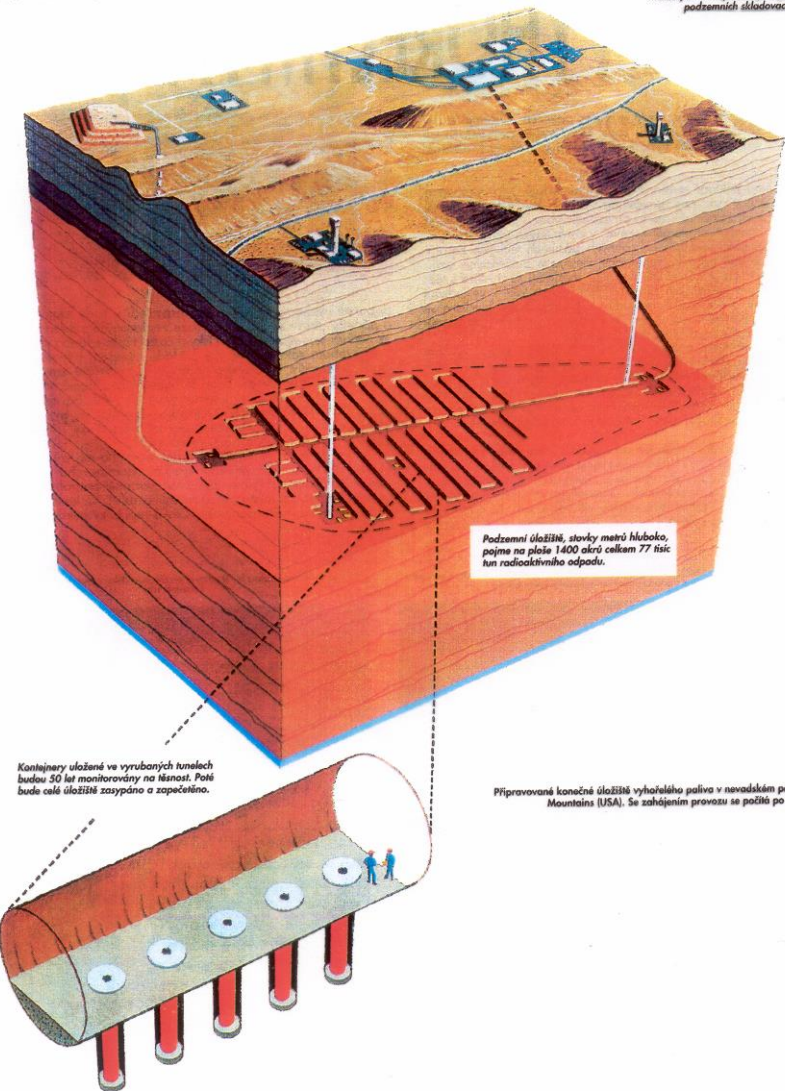
Výrobní blok s těžkovodním reaktorem typu Candu



Jaderná energetika

Jaderná energetika

Vynězený vulkanický papír a prach bude uložen na povrchu. Po ukončení provozu s ním budou zasypány skladovací tunely.



Research Centre for Toxic Compounds in the Environment

<http://recetox.muni.cz>

Dopady na životní prostředí

- ↳ Teplota ovzduší
- ↳ Vlhkost
- ↳ Radiace

Jaderné elektrárny v ČR



Temelín



Dukovany

Jaderná energetika



Foto 2.2 Elektrická energie z uranu – Jaderná elektrárna Temelín



Foto 8.1
Elektrická energie z uranu – Jaderná elektrárna Dukovany

Jaderná energetika



Foto 8.2 Elektrická energie z uranu – Jaderná elektrárna Temelín

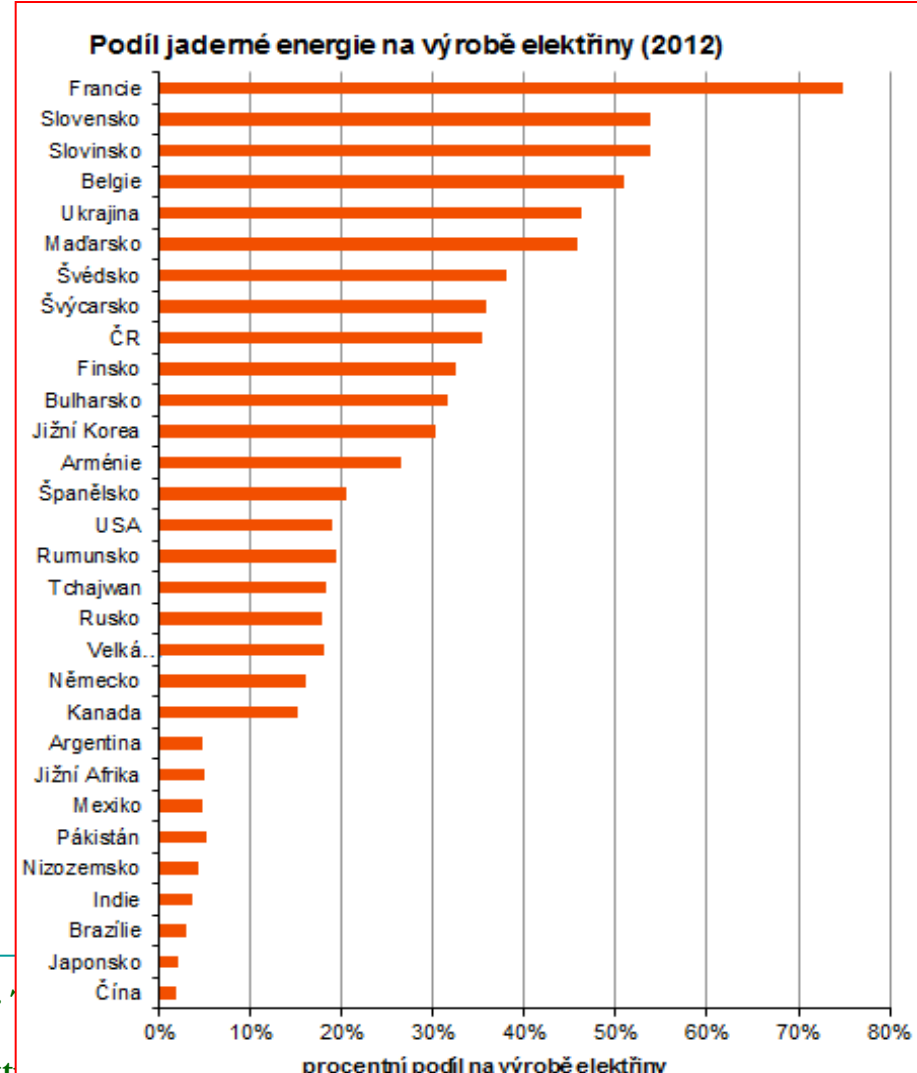
Jaderné elektrárny ve světě

↳ 30 států světa - v provozu 432 jaderných reaktorů

↳ 13% světové elektřiny

↳ Německo x Francie

↳ Černobyl a Fukushima

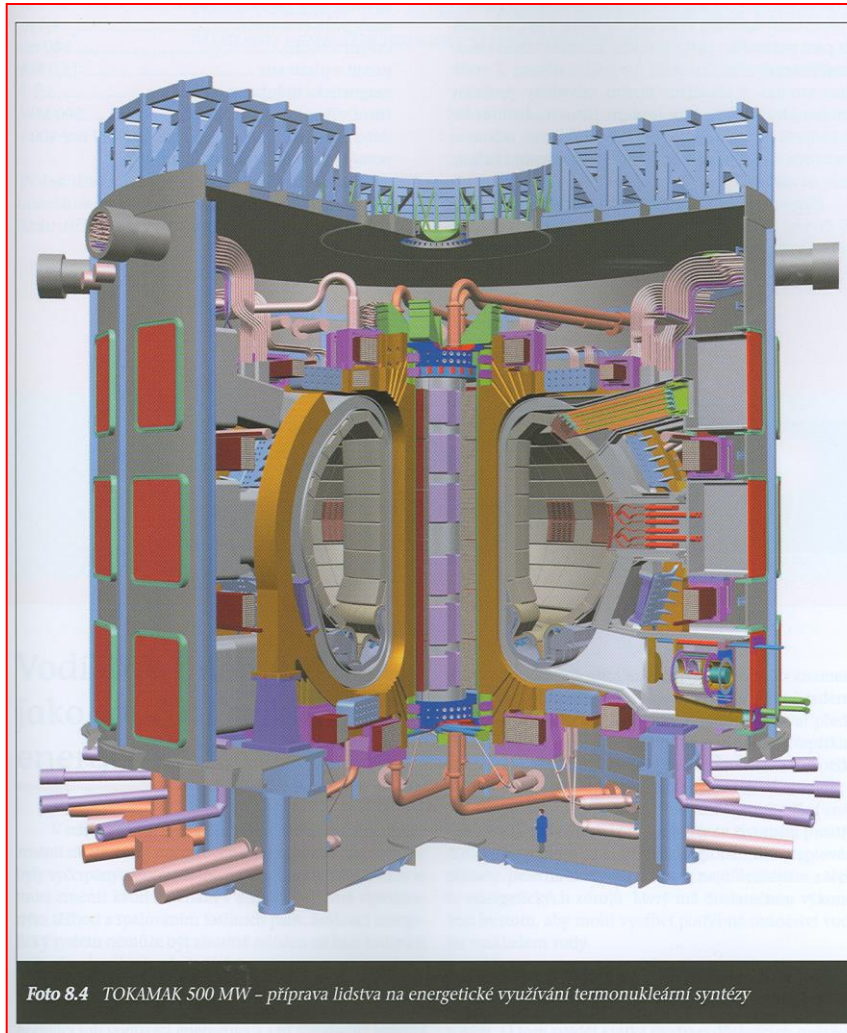


Termonukleární syntéza



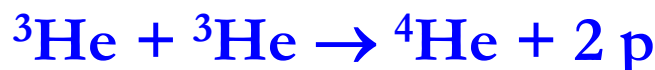
Foto 8.3 TOKAMAK – příprava lidstva na energetické využívání termonukleární syntézy, pohled na budoucí umístění TOKAMAKu 500 MW v Cadarache, Francie

Termonukleární syntéza

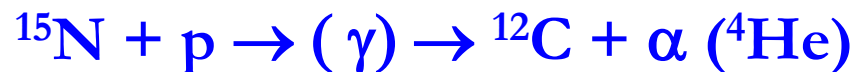


Nukleární reakce

p-p proces (hoření vodíku –
10 milionů K):

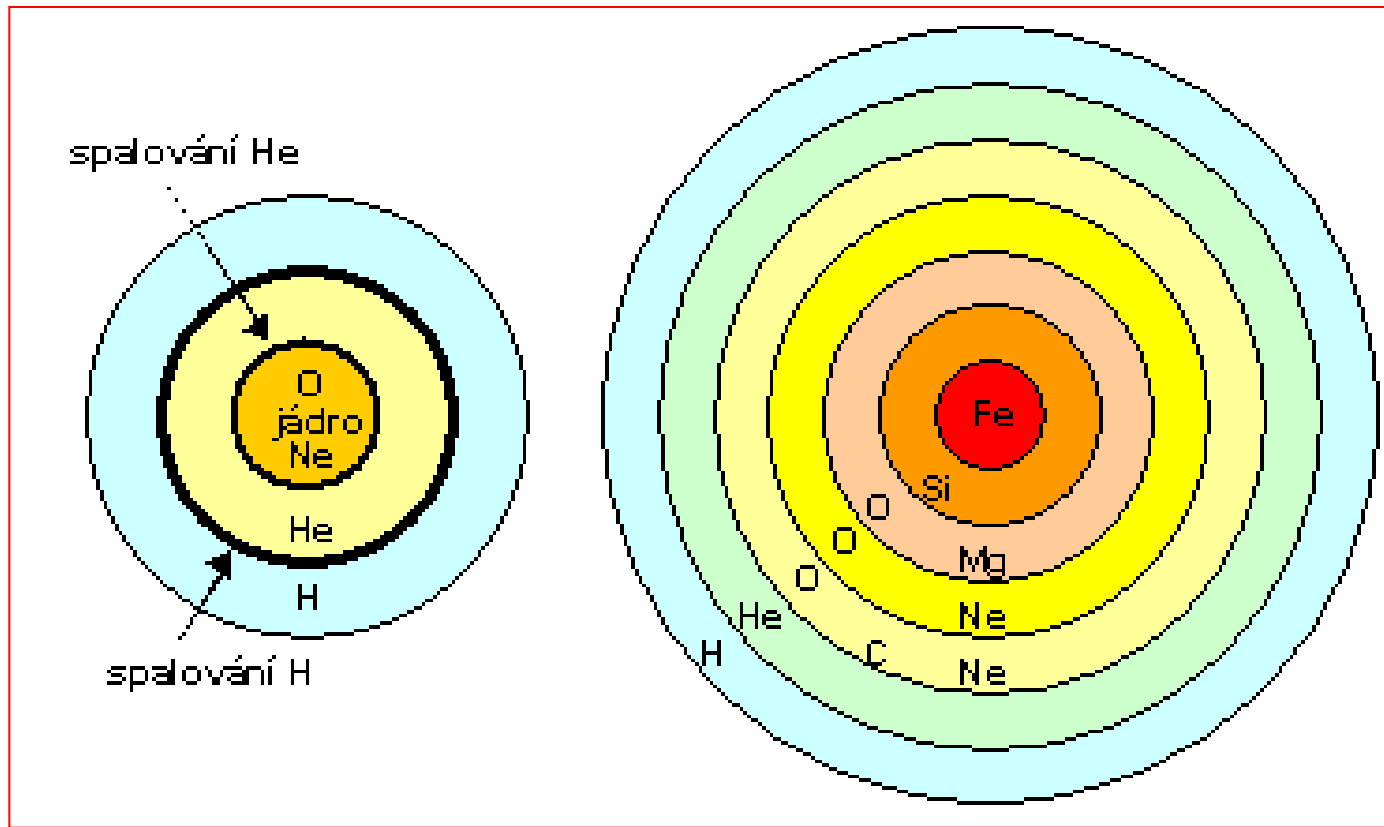


CNO cyklus:



Těžké prvky

- ↳ pomalý záchyt neutronů – *s-proces* (slow)
- ↳ rychlý záchyt neutronů – *r-proces* (rapid) – následně b^- rozpad
- ↳ záchyt protonů – *p-proces*



Předpokládaný příspěvek nových obnovitelných zdrojů E a jejich podíl na všech primárních energetických zdrojích

Tabulka 2.4

Předpokládaný příspěvek nových obnovitelných zdrojů energie (OZE) a jejich podíl na všech primárních energetických zdrojích (PEZ) v roce 2020 podle WEC 2000

Druh OZE	Minimum		Maximum	
	Mt _{oe}	%	Mt _{oe}	%
Biomasa	243	45	561	42
Solární energie	109	20	355	26
Jiné (vítr, geotermální, malé vodní elektrárny)	187	35	429	32
Celkem	539	100	1 345	100
Podíl ze všech PEZ (%)	3 až 4		8 až 12	

Měrná produkce CO₂ při spalování různých paliv

Tabulka 4.10

Měrná produkce oxidu uhličitého při spalování různých paliv

Typ paliva	Výhřevnost (MJ/kg)	Měrná produkce CO ₂ (kg CO ₂ /kg paliva)	Množství CO ₂ vztažené na
			jednotku energie (kg CO ₂ /GJ)
Vodík plynný	120	0	0
Vodík kapalný	120	0	0
Uhlí černé	20 až 30	1,7 až 2,9	85 až 100
Uhlí hnědé	11 až 24	1,2 až 1,9	82 až 95
Zemní plyn	43 až 50	2,6 až 2,8	57 až 60
Ropa	40 až 45	3,0 až 3,2	72 až 77
Petrolej	40	3,1	77
Benzin	42	3,0	71
Nafta	39	3,2	82
Bionafta	39	3,2	82
Etanol	30	2,9	97
Dřevěné uhlí	25 až 30	2,0	71 až 75
Dřevo	10 až 20	1,0 až 1,8	90 až 95